

## 平面シェル要素を用いたシェル構造の幾何学的非線形解析

ここでは、変形を、変形前の初期形状を参照して表現する Lagrange 形定式化について示す。なお、本レポートの定式化は、『有限要素法ハンドブック』、培風館、pp.128-149 を参考にしている。

### 1 仮想仕事式

大変形問題においても、仮想仕事の原理は成り立つので、ここでは、仮想仕事の原理から幾何剛性マトリックスを導く。

変形前の形状を参照した場合の大変形問題における仮想仕事の原理は次式のように表される。

$$\int_{\Omega} \delta \boldsymbol{\varepsilon}^T \boldsymbol{\sigma} d\Omega = \int_{\Omega} \delta \mathbf{u}^T \mathbf{b} d\Omega + \int_{\Gamma_T} \delta \mathbf{u}^T \mathbf{t} d\Gamma \quad (1.1)$$

ここに、 $\boldsymbol{\varepsilon}$  は歪ベクトル、 $\boldsymbol{\sigma}$  は応力ベクトル、 $\mathbf{u}$  は変位ベクトル、 $\mathbf{b}$  は物体力ベクトル、 $\mathbf{t}$  は表面力ベクトルである。3次元問題では、これらのベクトルは、次のように表される。

$$\begin{aligned} \boldsymbol{\sigma}^T &= \{\sigma_x \quad \sigma_y \quad \sigma_z \quad \tau_{xy} \quad \tau_{yz} \quad \tau_{zx}\} \\ \boldsymbol{\varepsilon}^T &= \{\varepsilon_x \quad \varepsilon_y \quad \varepsilon_z \quad \gamma_{xy} \quad \gamma_{yz} \quad \gamma_{zx}\} \\ \mathbf{u}^T &= \{u_x \quad u_y \quad u_z\} \\ \mathbf{b}^T &= \{b_x \quad b_y \quad b_z\} \\ \mathbf{t}^T &= \{t_x \quad t_y \quad t_z\}. \end{aligned} \quad (1.2)$$

ここで、ひずみ  $\boldsymbol{\varepsilon}$  は、線形部分と非線形部分に分けられ、次のように表される。

$$\boldsymbol{\varepsilon} = \boldsymbol{\varepsilon}^{(L)} + \boldsymbol{\varepsilon}^{(N)} \quad (1.3)$$

ここに、

$$\boldsymbol{\varepsilon}^{(L)} = \left\{ \begin{array}{c} \frac{\partial u_x}{\partial x} \\ \frac{\partial u_y}{\partial y} \\ \frac{\partial u_z}{\partial z} \\ \left( \frac{\partial u_y}{\partial x} + \frac{\partial u_x}{\partial y} \right) \\ \left( \frac{\partial u_z}{\partial y} + \frac{\partial u_y}{\partial z} \right) \\ \left( \frac{\partial u_x}{\partial z} + \frac{\partial u_z}{\partial x} \right) \end{array} \right\} \quad (1.4)$$

$$\boldsymbol{\varepsilon}^{(N)} = \left\{ \begin{array}{c} \frac{1}{2} \left[ \left( \frac{\partial u_x}{\partial x} \right)^2 + \left( \frac{\partial u_y}{\partial x} \right)^2 + \left( \frac{\partial u_z}{\partial x} \right)^2 \right] \\ \frac{1}{2} \left[ \left( \frac{\partial u_x}{\partial y} \right)^2 + \left( \frac{\partial u_y}{\partial y} \right)^2 + \left( \frac{\partial u_z}{\partial y} \right)^2 \right] \\ \frac{1}{2} \left[ \left( \frac{\partial u_x}{\partial z} \right)^2 + \left( \frac{\partial u_y}{\partial z} \right)^2 + \left( \frac{\partial u_z}{\partial z} \right)^2 \right] \\ \left( \frac{\partial u_x}{\partial x} \frac{\partial u_x}{\partial y} + \frac{\partial u_y}{\partial x} \frac{\partial u_y}{\partial y} + \frac{\partial u_z}{\partial x} \frac{\partial u_z}{\partial y} \right) \\ \left( \frac{\partial u_x}{\partial y} \frac{\partial u_x}{\partial z} + \frac{\partial u_y}{\partial y} \frac{\partial u_y}{\partial z} + \frac{\partial u_z}{\partial y} \frac{\partial u_z}{\partial z} \right) \\ \left( \frac{\partial u_x}{\partial z} \frac{\partial u_x}{\partial x} + \frac{\partial u_y}{\partial z} \frac{\partial u_y}{\partial x} + \frac{\partial u_z}{\partial z} \frac{\partial u_z}{\partial x} \right) \end{array} \right\} \quad (1.5)$$

さらに、 $\boldsymbol{\varepsilon}^{(L)}$  と  $\boldsymbol{\varepsilon}^{(N)}$  は、次のように表される。

$$\boldsymbol{\varepsilon}^{(L)} = \boldsymbol{\chi}^{(L)} \mathbf{d} \quad (1.6)$$

$$\boldsymbol{\varepsilon}^{(N)} = \frac{1}{2} \boldsymbol{\chi}^{(N)} \mathbf{d} \quad (1.7)$$

ここに， $\mathbf{d}$  は変位勾配，

$$\mathbf{d}^T = \left\{ \frac{\partial u_x}{\partial x} \quad \frac{\partial u_x}{\partial y} \quad \frac{\partial u_x}{\partial z} \quad \frac{\partial u_y}{\partial x} \quad \frac{\partial u_y}{\partial y} \quad \frac{\partial u_y}{\partial z} \quad \frac{\partial u_z}{\partial x} \quad \frac{\partial u_z}{\partial y} \quad \frac{\partial u_z}{\partial z} \right\} \quad (1.8)$$

$\boldsymbol{\chi}^{(L)}$  と  $\boldsymbol{\chi}^{(N)}$  は，次のように表される。

$$\boldsymbol{\chi}^{(L)} = \begin{bmatrix} 1 & 0 & 0 & 0 & 0 & 0 & 0 & 0 & 0 \\ 0 & 0 & 0 & 0 & 1 & 0 & 0 & 0 & 0 \\ 0 & 0 & 0 & 0 & 0 & 0 & 0 & 0 & 1 \\ 0 & 1 & 0 & 1 & 0 & 0 & 0 & 0 & 0 \\ 0 & 0 & 0 & 0 & 0 & 1 & 0 & 1 & 0 \\ 0 & 0 & 1 & 0 & 0 & 0 & 1 & 0 & 0 \end{bmatrix} \quad (1.9)$$

$$\boldsymbol{\chi}^{(N)} = \begin{bmatrix} \frac{\partial u_x}{\partial x} & 0 & 0 & \frac{\partial u_y}{\partial x} & 0 & 0 & \frac{\partial u_z}{\partial x} & 0 & 0 \\ 0 & \frac{\partial u_x}{\partial y} & 0 & 0 & \frac{\partial u_y}{\partial y} & 0 & 0 & \frac{\partial u_z}{\partial y} & 0 \\ 0 & 0 & \frac{\partial u_x}{\partial z} & 0 & 0 & \frac{\partial u_y}{\partial z} & 0 & 0 & \frac{\partial u_z}{\partial z} \\ \frac{\partial u_x}{\partial y} & \frac{\partial u_x}{\partial x} & 0 & \frac{\partial u_y}{\partial y} & \frac{\partial u_y}{\partial x} & 0 & \frac{\partial u_z}{\partial y} & \frac{\partial u_z}{\partial x} & 0 \\ 0 & \frac{\partial u_x}{\partial z} & \frac{\partial u_x}{\partial y} & 0 & \frac{\partial u_y}{\partial z} & \frac{\partial u_y}{\partial y} & 0 & \frac{\partial u_z}{\partial z} & \frac{\partial u_z}{\partial y} \\ \frac{\partial u_x}{\partial z} & 0 & \frac{\partial u_x}{\partial x} & \frac{\partial u_y}{\partial z} & 0 & \frac{\partial u_y}{\partial x} & \frac{\partial u_z}{\partial z} & 0 & \frac{\partial u_z}{\partial x} \end{bmatrix} \quad (1.10)$$

## 2 有限要素法による離散化

節点変位を用いた多項式補間関数により，要素内の変位分布  $\mathbf{u}$  を仮定する。

$$\mathbf{u} = \mathbf{N} \mathbf{U}^e \quad (2.1)$$

ここに， $\mathbf{N}$  は形状関数， $\mathbf{U}^e$  は要素の節点変位ベクトルである。上式を(1.8)式に代入すると，変位勾配  $\mathbf{d}$  は次式のように表される。

$$\mathbf{d} = \mathbf{B}_d \mathbf{U}^e \quad (2.2)$$

ここに， $\mathbf{B}_d$  は，変位勾配と節点変位を関係づけるマトリックスである。

このとき，(1.3)式のひずみは，次式のように表される。

$$\boldsymbol{\varepsilon} = \boldsymbol{\varepsilon}^{(L)} + \boldsymbol{\varepsilon}^{(N)} = (\mathbf{B}^{(L)} + \mathbf{B}^{(N)}) \mathbf{U}^e = \mathbf{B} \mathbf{U}^e \quad (2.3)$$

ここに，

$$\begin{aligned} \boldsymbol{\varepsilon}^{(L)} &= \mathbf{B}^{(L)} \mathbf{U}^e, & \mathbf{B}^{(L)} &= \boldsymbol{\chi}^{(L)} \mathbf{B}_d \\ \boldsymbol{\varepsilon}^{(N)} &= \mathbf{B}^{(N)} \mathbf{U}^e, & \mathbf{B}^{(N)} &= \frac{1}{2} \boldsymbol{\chi}^{(N)} \mathbf{B}_d \end{aligned} \quad (2.4)$$

マトリックス  $\mathbf{B}$  はひずみ - 変位マトリックス,  $\mathbf{B}^{(L)}, \mathbf{B}^{(N)}$  は  $\mathbf{B}$  の線形および非線形成分である。(2.1)式と(2.3)式を(1.1)式に代入すると, 次式が得られる。

$$\int_{\Omega^e} (\mathbf{B}^{(L)} \delta \mathbf{U}^e + \mathbf{B}^{(N)} \delta \mathbf{U}^e + \delta \mathbf{B}^{(N)} \mathbf{U}^e)^T \boldsymbol{\sigma} d\Omega = \int_{\Omega^e} \delta \mathbf{U}^{eT} \mathbf{N}^T \mathbf{b} d\Omega + \int_{\Gamma_f^e} \delta \mathbf{U}^{eT} \mathbf{N}^T \mathbf{t} d\Gamma \quad (2.5)$$

ここに,  $\Omega^e, \Gamma_f^e$  は要素の領域と力学的境界を表す。ここで,  $\delta \mathbf{B}^{(N)} \mathbf{U}^e = \mathbf{B}^{(N)} \delta \mathbf{U}^e$  の関係を考慮すると次式が得られる。

$$\int_{\Omega^e} (\mathbf{B}^{(L)} + 2\mathbf{B}^{(N)})^T \boldsymbol{\sigma} d\Omega = \int_{\Omega^e} \mathbf{N}^T \mathbf{b} d\Omega + \int_{\Gamma_f^e} \mathbf{N}^T \mathbf{t} d\Gamma \quad (2.6)$$

### 3 増分型方程式

(2.6)式を, 前ステップの既知量とその増分量で表すと次式のようになる。

$$\int_{\Omega^e} (\mathbf{B}^{(L)} + 2\mathbf{B}_0^{(N)} + 2\Delta \mathbf{B}^{(N)})^T (\boldsymbol{\sigma}_0 + \Delta \boldsymbol{\sigma}) d\Omega = \int_{\Omega^e} \mathbf{N}^T (\mathbf{b}_0 + \Delta \mathbf{b}) d\Omega + \int_{\Gamma_f^e} \mathbf{N}^T (\mathbf{t}_0 + \Delta \mathbf{t}) d\Gamma \quad (3.1)$$

ここに, 下添字 "0" は前ステップの既知量を表し,  $\Delta$  はそこからの増分量を表す。なお, 弾性成分  $\mathbf{B}^{(L)}$  は変化しないものとしている ( $\Delta \mathbf{B}^{(L)} = \mathbf{0}$ )。 (3.1)式は, 次のように整理できる。

$$\int_{\Omega^e} (\mathbf{B}^{(L)} + 2\mathbf{B}_0^{(N)})^T \Delta \boldsymbol{\sigma} d\Omega + 2 \int_{\Omega^e} \Delta \mathbf{B}^{(N)T} \boldsymbol{\sigma}_0 d\Omega = \Delta \mathbf{f}_b + \Delta \mathbf{f}_t + \mathbf{R}_0 + \mathbf{Q}_\sigma \quad (3.2)$$

ここに,  $\Delta \mathbf{f}_b, \Delta \mathbf{f}_t$  は, 物体力と表面力による等価節点力,  $\mathbf{R}_0$  は前ステップの不釣り合い力,  $\mathbf{Q}_\sigma$  は, 2次以上の高次項で, それぞれ次のように表される。

$$\begin{aligned} \Delta \mathbf{f}_b &= \int_{\Omega^e} \mathbf{N}^T \Delta \mathbf{b} d\Omega \\ \Delta \mathbf{f}_t &= \int_{\Gamma_f^e} \mathbf{N}^T \Delta \mathbf{t} d\Gamma \\ \mathbf{R}_0 &= \int_{\Omega^e} \mathbf{N}^T \mathbf{b}_0 d\Omega + \int_{\Gamma_f^e} \mathbf{N}^T \mathbf{t}_0 d\Gamma - \int_{\Omega^e} (\mathbf{B}^{(L)} + 2\mathbf{B}_0^{(N)})^T \boldsymbol{\sigma}_0 d\Omega \\ \mathbf{Q}_\sigma &= -2 \int_{\Omega^e} \Delta \mathbf{B}^{(N)T} \boldsymbol{\sigma}_0 d\Omega. \end{aligned} \quad (3.3)$$

(3.2)式の  $\Delta \boldsymbol{\sigma}$  は次式のように表される。

$$\Delta \boldsymbol{\sigma} = \mathbf{D} \Delta \boldsymbol{\varepsilon} = \mathbf{D} \left\{ (\mathbf{B}^{(L)} + 2\mathbf{B}_0^{(N)}) \Delta \mathbf{U}^e + 2\Delta \mathbf{B}^{(N)} \Delta \mathbf{U}^e \right\} \quad (3.4)$$

ここに,  $\mathbf{D}$  は弾性マトリックス。(3.4)式を(3.2)式に代入し, 次式の関係

$$2 \int_{\Omega^e} \Delta \mathbf{B}^{(N)T} \boldsymbol{\sigma}_0 d\Omega = \int_{\Omega^e} \mathbf{B}_d \mathbf{S}_0 \mathbf{B}_d d\Omega \quad (3.5)$$

ここで,

$$\begin{aligned} \mathbf{S}_0 &= \begin{bmatrix} \tilde{\boldsymbol{\sigma}}_0 & \mathbf{0} & \mathbf{0} \\ \mathbf{0} & \tilde{\boldsymbol{\sigma}}_0 & \mathbf{0} \\ \mathbf{0} & \mathbf{0} & \tilde{\boldsymbol{\sigma}}_0 \end{bmatrix}, \quad \tilde{\boldsymbol{\sigma}}_0 = \begin{bmatrix} \sigma_{x0} & & \text{Sym.} \\ \tau_{xy0} & \sigma_{y0} & \\ \tau_{zx0} & \tau_{yz0} & \sigma_{z0} \end{bmatrix} \\ \boldsymbol{\sigma}_0^T &= \{ \sigma_{x0} \quad \sigma_{y0} \quad \sigma_{z0} \quad \tau_{xy0} \quad \tau_{yz0} \quad \tau_{zx0} \} \end{aligned} \quad (3.6)$$

を用いると, (3.2)式は次のように表せる。

$$\left(\mathbf{k}^{(L)} + \mathbf{k}_0^{(u)} + \mathbf{k}_0^{(\sigma)}\right) \Delta \mathbf{U}^e = \Delta \mathbf{f}_b + \Delta \mathbf{f}_i + \mathbf{R}_0 + \mathbf{Q}_\sigma \quad (3.7)$$

ここに,

$$\mathbf{k}^{(L)} = \int_{\Omega^e} \mathbf{B}^{(L)T} \mathbf{D} \mathbf{B}^{(L)} d\Omega \quad (3.8)$$

$$\mathbf{k}_0^{(u)} = 2 \int_{\Omega^e} \mathbf{B}_0^{(N)T} \mathbf{D} \mathbf{B}^{(L)} d\Omega + 2 \int_{\Omega^e} \mathbf{B}^{(L)T} \mathbf{D} \mathbf{B}_0^{(N)} d\Omega + 4 \int_{\Omega^e} \mathbf{B}_0^{(N)T} \mathbf{D} \mathbf{B}_0^{(N)} d\Omega \quad (3.9)$$

$$\mathbf{k}_0^{(\sigma)} = \int_{\Omega^e} \mathbf{B}_d^T \mathbf{S}_0 \mathbf{B}_d d\Omega. \quad (3.10)$$

ここで,  $\mathbf{k}^{(L)}$  は微小変位に対する剛性マトリックス,  $\mathbf{k}_0^{(u)}$  は初期変位剛性マトリックス,  $\mathbf{k}_0^{(\sigma)}$  は初期応力剛性マトリックスである。

#### 4 面内変形要素の剛性マトリックス

平面シェル要素の面内変形に対する要素として, 図 4.1 に示すアイソパラメトリック要素を用いる。この場合, (2.1)式は次のように表される。

$$\mathbf{u} = \mathbf{N} \mathbf{U}^e \quad (4.1)$$

ここに,

$$\begin{aligned} \mathbf{u}^T &= \{u_x \quad u_y\} \\ \mathbf{N} &= \begin{bmatrix} \bar{\mathbf{N}} & \mathbf{0} \\ \mathbf{0} & \bar{\mathbf{N}} \end{bmatrix}, \quad \bar{\mathbf{N}} = [N_1 \quad N_2 \quad N_3 \quad N_4] \\ \mathbf{U}^e &= \begin{Bmatrix} \mathbf{u}_x \\ \mathbf{u}_y \end{Bmatrix}, \quad \begin{aligned} \mathbf{u}_x^T &= \{u_{x1} \quad u_{x2} \quad u_{x3} \quad u_{x4}\} \\ \mathbf{u}_y^T &= \{u_{y1} \quad u_{y2} \quad u_{y3} \quad u_{y4}\} \end{aligned} \end{aligned} \quad (4.2)$$

また,

$$N_1 = \frac{1}{4}(1-\xi)(1-\eta), \quad N_2 = \frac{1}{4}(1+\xi)(1-\eta), \quad N_3 = \frac{1}{4}(1+\xi)(1+\eta), \quad N_4 = \frac{1}{4}(1-\xi)(1+\eta) \quad (4.3)$$

このとき, (1.8)式の変位勾配は次のようになる。

$$\frac{\partial u_x}{\partial x} = \begin{bmatrix} \frac{\partial \bar{\mathbf{N}}}{\partial x} & \mathbf{0} \end{bmatrix} \mathbf{U}^e, \quad \frac{\partial u_x}{\partial y} = \begin{bmatrix} \frac{\partial \bar{\mathbf{N}}}{\partial y} & \mathbf{0} \end{bmatrix} \mathbf{U}^e, \quad \frac{\partial u_y}{\partial x} = \begin{bmatrix} \mathbf{0} & \frac{\partial \bar{\mathbf{N}}}{\partial x} \end{bmatrix} \mathbf{U}^e, \quad \frac{\partial u_y}{\partial y} = \begin{bmatrix} \mathbf{0} & \frac{\partial \bar{\mathbf{N}}}{\partial y} \end{bmatrix} \mathbf{U}^e \quad (4.4)$$

したがって, (2.2)式は次のように表される。

$$\mathbf{d} = \mathbf{B}_d \mathbf{U}^e \quad (4.5)$$

ここに,

$$\mathbf{d}^T = \left\{ \frac{\partial u_x}{\partial x} \quad \frac{\partial u_x}{\partial y} \quad \frac{\partial u_y}{\partial x} \quad \frac{\partial u_y}{\partial y} \right\}, \quad \mathbf{B}_d = \begin{bmatrix} \frac{\partial \bar{N}}{\partial x} & \mathbf{0} \\ \frac{\partial \bar{N}}{\partial y} & \mathbf{0} \\ \mathbf{0} & \frac{\partial \bar{N}}{\partial x} \\ \mathbf{0} & \frac{\partial \bar{N}}{\partial y} \end{bmatrix} \quad (4.6)$$

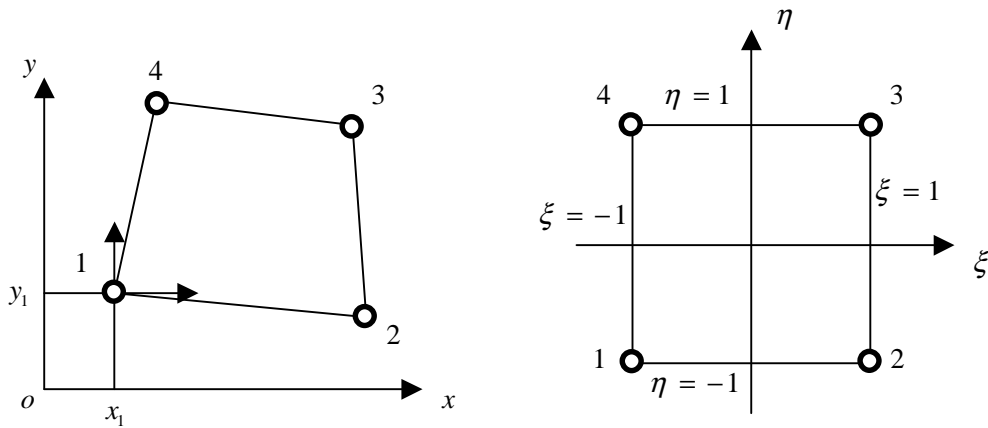


図 4.1 4 節点アイソパラメトリック平面要素

アイソパラメトリック要素では,要素内の座標も節点の座標値を用いて次式のように表される。

$$x = \bar{N}\mathbf{x}, \quad y = \bar{N}\mathbf{y} \quad (4.7)$$

ここに,

$$\mathbf{x}^T = \{x_1 \quad x_2 \quad x_3 \quad x_4\}, \quad \mathbf{y}^T = \{y_1 \quad y_2 \quad y_3 \quad y_4\} \quad (4.8)$$

また,  $x, y$  に関する 1 階の偏微分次式から求められる。

$$\begin{bmatrix} \frac{\partial}{\partial \xi} \\ \frac{\partial}{\partial \eta} \end{bmatrix} = \begin{bmatrix} \frac{\partial x}{\partial \xi} & \frac{\partial y}{\partial \xi} \\ \frac{\partial x}{\partial \eta} & \frac{\partial y}{\partial \eta} \end{bmatrix} \begin{bmatrix} \frac{\partial}{\partial x} \\ \frac{\partial}{\partial y} \end{bmatrix} = \mathbf{J} \begin{bmatrix} \frac{\partial}{\partial x} \\ \frac{\partial}{\partial y} \end{bmatrix} \quad (4.9)$$

$$\begin{bmatrix} \frac{\partial}{\partial x} \\ \frac{\partial}{\partial y} \end{bmatrix} = \mathbf{J}^{-1} \begin{bmatrix} \frac{\partial}{\partial \xi} \\ \frac{\partial}{\partial \eta} \end{bmatrix} \quad (4.10)$$

(4.7)式より, ヤコビアンマトリックス  $\mathbf{J}$  および  $\mathbf{J}^{-1}$  は次式のように計算される。

$$\mathbf{J} = \begin{bmatrix} \frac{\partial \bar{\mathbf{N}}}{\partial \xi} \mathbf{x} & \frac{\partial \bar{\mathbf{N}}}{\partial \xi} \mathbf{y} \\ \frac{\partial \bar{\mathbf{N}}}{\partial \eta} \mathbf{x} & \frac{\partial \bar{\mathbf{N}}}{\partial \eta} \mathbf{y} \end{bmatrix}, \quad \mathbf{J}^{-1} = \frac{1}{|\mathbf{J}|} \begin{bmatrix} \frac{\partial \bar{\mathbf{N}}}{\partial \eta} \mathbf{y} & -\frac{\partial \bar{\mathbf{N}}}{\partial \xi} \mathbf{y} \\ -\frac{\partial \bar{\mathbf{N}}}{\partial \eta} \mathbf{x} & \frac{\partial \bar{\mathbf{N}}}{\partial \xi} \mathbf{x} \end{bmatrix} \quad (4.11)$$

$$|\mathbf{J}| = \frac{\partial \bar{\mathbf{N}}}{\partial \xi} \mathbf{x} \cdot \frac{\partial \bar{\mathbf{N}}}{\partial \eta} \mathbf{y} - \frac{\partial \bar{\mathbf{N}}}{\partial \xi} \mathbf{y} \cdot \frac{\partial \bar{\mathbf{N}}}{\partial \eta} \mathbf{x} \quad (4.12)$$

ここに、 $|\mathbf{J}|$ は $\mathbf{J}$ の行列式、また、(4.3)式より、

$$\begin{aligned} \frac{\partial \bar{\mathbf{N}}}{\partial \xi} &= \begin{bmatrix} -\frac{1}{4}(1-\eta) & \frac{1}{4}(1-\eta) & \frac{1}{4}(1+\eta) & -\frac{1}{4}(1+\eta) \end{bmatrix} \\ \frac{\partial \bar{\mathbf{N}}}{\partial \eta} &= \begin{bmatrix} -\frac{1}{4}(1-\xi) & -\frac{1}{4}(1+\xi) & \frac{1}{4}(1+\xi) & \frac{1}{4}(1-\xi) \end{bmatrix} \end{aligned} \quad (4.13)$$

となる。したがって、

$$\begin{bmatrix} \frac{\partial \bar{\mathbf{N}}}{\partial x} \\ \frac{\partial \bar{\mathbf{N}}}{\partial y} \end{bmatrix} = \mathbf{J}^{-1} \begin{bmatrix} \frac{\partial \bar{\mathbf{N}}}{\partial \xi} \\ \frac{\partial \bar{\mathbf{N}}}{\partial \eta} \end{bmatrix} \quad (4.14)$$

(3.8)式、(3.10)式より、弾性剛性マトリックスと初期応力マトリックスは次式より求められる。

$$\mathbf{k}^{(L)} = \int_{\Omega^c} \mathbf{B}^{(L)T} \mathbf{D} \mathbf{B}^{(L)} d\Omega = \int_{\Omega^c} (\boldsymbol{\chi}^{(L)} \mathbf{B}_d)^T \mathbf{D} (\boldsymbol{\chi}^{(L)} \mathbf{B}_d) d\Omega \quad (4.15)$$

$$\mathbf{k}_0^{(\sigma)} = \int_{\Omega^c} \mathbf{B}_d^T \mathbf{S}_0 \mathbf{B}_d d\Omega. \quad (4.16)$$

$$\mathbf{k}_0^{(u)} = 2 \int_{\Omega^c} \mathbf{B}_0^{(N)T} \mathbf{D} \mathbf{B}^{(L)} d\Omega + 2 \int_{\Omega^c} \mathbf{B}^{(L)T} \mathbf{D} \mathbf{B}_0^{(N)} d\Omega + 4 \int_{\Omega^c} \mathbf{B}_0^{(N)T} \mathbf{D} \mathbf{B}_0^{(N)} d\Omega \quad (4.17)$$

ここに、

$$\boldsymbol{\chi}^{(L)} = \begin{bmatrix} 1 & 0 & 0 & 0 \\ 0 & 0 & 0 & 1 \\ 0 & 1 & 1 & 0 \end{bmatrix}, \quad \mathbf{B}^{(L)} = \boldsymbol{\chi}^{(L)} \mathbf{B}_d = \begin{bmatrix} \frac{\partial \bar{\mathbf{N}}}{\partial x} & \mathbf{0} \\ \mathbf{0} & \frac{\partial \bar{\mathbf{N}}}{\partial y} \\ \frac{\partial \bar{\mathbf{N}}}{\partial y} & \frac{\partial \bar{\mathbf{N}}}{\partial x} \end{bmatrix} \quad (4.18)$$

$$\mathbf{B}_0^{(N)} = (1/2) \boldsymbol{\chi}_0^{(N)} \mathbf{B}_d$$

$$= \frac{1}{2} \begin{bmatrix} \frac{\partial \bar{\mathbf{N}}}{\partial x} \mathbf{u}_{x0} & \mathbf{0} & \frac{\partial \bar{\mathbf{N}}}{\partial x} \mathbf{u}_{y0} & \mathbf{0} \\ \mathbf{0} & \frac{\partial \bar{\mathbf{N}}}{\partial y} \mathbf{u}_{x0} & \mathbf{0} & \frac{\partial \bar{\mathbf{N}}}{\partial y} \mathbf{u}_{y0} \\ \frac{\partial \bar{\mathbf{N}}}{\partial y} \mathbf{u}_{x0} & \frac{\partial \bar{\mathbf{N}}}{\partial x} \mathbf{u}_{x0} & \frac{\partial \bar{\mathbf{N}}}{\partial y} \mathbf{u}_{y0} & \frac{\partial \bar{\mathbf{N}}}{\partial x} \mathbf{u}_{y0} \end{bmatrix} = \begin{bmatrix} \frac{\partial \bar{\mathbf{N}}}{\partial x} & \mathbf{0} \\ \frac{\partial \bar{\mathbf{N}}}{\partial y} & \mathbf{0} \\ \mathbf{0} & \frac{\partial \bar{\mathbf{N}}}{\partial x} \\ \mathbf{0} & \frac{\partial \bar{\mathbf{N}}}{\partial y} \end{bmatrix} = \begin{bmatrix} \frac{\partial \bar{\mathbf{N}}}{\partial x} \mathbf{u}_{x0} & \frac{\partial \bar{\mathbf{N}}}{\partial x} & \frac{\partial \bar{\mathbf{N}}}{\partial x} \mathbf{u}_{y0} & \frac{\partial \bar{\mathbf{N}}}{\partial x} \\ \frac{\partial \bar{\mathbf{N}}}{\partial y} \mathbf{u}_{x0} & \frac{\partial \bar{\mathbf{N}}}{\partial y} & \frac{\partial \bar{\mathbf{N}}}{\partial y} \mathbf{u}_{y0} & \frac{\partial \bar{\mathbf{N}}}{\partial y} \\ \frac{\partial \bar{\mathbf{N}}}{\partial y} \mathbf{u}_{x0} & \frac{\partial \bar{\mathbf{N}}}{\partial x} & \frac{\partial \bar{\mathbf{N}}}{\partial y} \mathbf{u}_{y0} & \frac{\partial \bar{\mathbf{N}}}{\partial x} \\ + \frac{\partial \bar{\mathbf{N}}}{\partial x} \mathbf{u}_{x0} & \frac{\partial \bar{\mathbf{N}}}{\partial y} & + \frac{\partial \bar{\mathbf{N}}}{\partial x} \mathbf{u}_{y0} & \frac{\partial \bar{\mathbf{N}}}{\partial y} \end{bmatrix} \quad (4.19)$$

ただし,  $\mathbf{u}_{x0}, \mathbf{u}_{y0}$  は前ステップの変位ベクトルである。また, 平面応力問題では,  $\mathbf{D}, \mathbf{S}_0$  は次のようになる。

$$\mathbf{D} = \frac{E}{1-\nu^2} \begin{bmatrix} 1 & \nu & 0 \\ \nu & 1 & 0 \\ 0 & 0 & (1-\nu)/2 \end{bmatrix} \quad (4.20)$$

$$\mathbf{S}_0 = \begin{bmatrix} \sigma_{x0} & & & \text{Sym.} \\ \tau_{xy0} & \sigma_{y0} & & \\ 0 & 0 & \sigma_{x0} & \\ 0 & 0 & \tau_{xy0} & \sigma_{y0} \end{bmatrix} \quad (4.21)$$

プログラミング上の計算効率を上げるために, (4.15)-(4.17)式の被積分項を計算する。

$$(\boldsymbol{\chi}^{(L)} \mathbf{B}_d)^T \mathbf{D} (\boldsymbol{\chi}^{(L)} \mathbf{B}_d) = \begin{bmatrix} \frac{\partial \bar{\mathbf{N}}^T}{\partial x} & \mathbf{0} & \frac{\partial \bar{\mathbf{N}}^T}{\partial y} \\ \mathbf{0} & \frac{\partial \bar{\mathbf{N}}^T}{\partial y} & \frac{\partial \bar{\mathbf{N}}^T}{\partial x} \end{bmatrix} \begin{bmatrix} D_{11} \frac{\partial \bar{\mathbf{N}}}{\partial x} & D_{12} \frac{\partial \bar{\mathbf{N}}}{\partial y} \\ D_{21} \frac{\partial \bar{\mathbf{N}}}{\partial x} & D_{22} \frac{\partial \bar{\mathbf{N}}}{\partial y} \\ D_{33} \frac{\partial \bar{\mathbf{N}}}{\partial y} & D_{33} \frac{\partial \bar{\mathbf{N}}}{\partial x} \end{bmatrix} \quad (4.22)$$

$$= \begin{bmatrix} D_{11} \frac{\partial \bar{\mathbf{N}}^T}{\partial x} \frac{\partial \bar{\mathbf{N}}}{\partial x} + D_{33} \frac{\partial \bar{\mathbf{N}}^T}{\partial y} \frac{\partial \bar{\mathbf{N}}}{\partial y} & D_{12} \frac{\partial \bar{\mathbf{N}}^T}{\partial x} \frac{\partial \bar{\mathbf{N}}}{\partial y} + D_{33} \frac{\partial \bar{\mathbf{N}}^T}{\partial y} \frac{\partial \bar{\mathbf{N}}}{\partial x} \\ D_{21} \frac{\partial \bar{\mathbf{N}}^T}{\partial y} \frac{\partial \bar{\mathbf{N}}}{\partial x} + D_{33} \frac{\partial \bar{\mathbf{N}}^T}{\partial x} \frac{\partial \bar{\mathbf{N}}}{\partial y} & D_{22} \frac{\partial \bar{\mathbf{N}}^T}{\partial y} \frac{\partial \bar{\mathbf{N}}}{\partial y} + D_{33} \frac{\partial \bar{\mathbf{N}}^T}{\partial x} \frac{\partial \bar{\mathbf{N}}}{\partial x} \end{bmatrix}$$

$$\mathbf{B}_d^T \mathbf{S}_0 \mathbf{B}_d = \begin{bmatrix} \frac{\partial \bar{\mathbf{N}}^T}{\partial x} & \frac{\partial \bar{\mathbf{N}}^T}{\partial y} & \mathbf{0} & \mathbf{0} \\ \mathbf{0} & \mathbf{0} & \frac{\partial \bar{\mathbf{N}}^T}{\partial x} & \frac{\partial \bar{\mathbf{N}}^T}{\partial y} \end{bmatrix} \begin{bmatrix} \sigma_{x0} & \tau_{xy0} & 0 & 0 \\ \tau_{xy0} & \sigma_{y0} & 0 & 0 \\ 0 & 0 & \sigma_{x0} & \tau_{xy0} \\ 0 & 0 & \tau_{xy0} & \sigma_{y0} \end{bmatrix} \begin{bmatrix} \frac{\partial \bar{\mathbf{N}}}{\partial x} & \mathbf{0} \\ \frac{\partial \bar{\mathbf{N}}}{\partial y} & \mathbf{0} \\ \mathbf{0} & \frac{\partial \bar{\mathbf{N}}}{\partial x} \\ \mathbf{0} & \frac{\partial \bar{\mathbf{N}}}{\partial y} \end{bmatrix} = \begin{bmatrix} \bar{\mathbf{k}}_0^{(\sigma)} & \mathbf{0} \\ \mathbf{0} & \bar{\mathbf{k}}_0^{(\sigma)} \end{bmatrix} \quad (4.23)$$

$$\bar{\mathbf{k}}_0^{(\sigma)} = \sigma_{x0} \frac{\partial \bar{\mathbf{N}}^T}{\partial x} \frac{\partial \bar{\mathbf{N}}}{\partial x} + \tau_{xy0} \frac{\partial \bar{\mathbf{N}}^T}{\partial y} \frac{\partial \bar{\mathbf{N}}}{\partial x} + \tau_{xy0} \frac{\partial \bar{\mathbf{N}}^T}{\partial x} \frac{\partial \bar{\mathbf{N}}}{\partial y} + \sigma_{y0} \frac{\partial \bar{\mathbf{N}}^T}{\partial y} \frac{\partial \bar{\mathbf{N}}}{\partial y}$$

$$\mathbf{B}_0^{(N)T} \mathbf{D} \mathbf{B}^{(L)} = \frac{1}{2} \begin{bmatrix} \frac{\partial \bar{\mathbf{N}}^T}{\partial x} \mathbf{u}_{x0}^T \frac{\partial \bar{\mathbf{N}}^T}{\partial x} & \frac{\partial \bar{\mathbf{N}}^T}{\partial y} \mathbf{u}_{x0}^T \frac{\partial \bar{\mathbf{N}}^T}{\partial y} & \frac{\partial \bar{\mathbf{N}}^T}{\partial x} \mathbf{u}_{x0}^T \frac{\partial \bar{\mathbf{N}}^T}{\partial y} + \frac{\partial \bar{\mathbf{N}}^T}{\partial y} \mathbf{u}_{x0}^T \frac{\partial \bar{\mathbf{N}}^T}{\partial x} \\ \frac{\partial \bar{\mathbf{N}}^T}{\partial x} \mathbf{u}_{y0}^T \frac{\partial \bar{\mathbf{N}}^T}{\partial x} & \frac{\partial \bar{\mathbf{N}}^T}{\partial y} \mathbf{u}_{y0}^T \frac{\partial \bar{\mathbf{N}}^T}{\partial y} & \frac{\partial \bar{\mathbf{N}}^T}{\partial x} \mathbf{u}_{y0}^T \frac{\partial \bar{\mathbf{N}}^T}{\partial y} + \frac{\partial \bar{\mathbf{N}}^T}{\partial y} \mathbf{u}_{y0}^T \frac{\partial \bar{\mathbf{N}}^T}{\partial x} \end{bmatrix} \begin{bmatrix} D_{11} \frac{\partial \bar{\mathbf{N}}}{\partial x} & D_{12} \frac{\partial \bar{\mathbf{N}}}{\partial y} \\ D_{21} \frac{\partial \bar{\mathbf{N}}}{\partial x} & D_{22} \frac{\partial \bar{\mathbf{N}}}{\partial y} \\ D_{33} \frac{\partial \bar{\mathbf{N}}}{\partial y} & D_{33} \frac{\partial \bar{\mathbf{N}}}{\partial x} \end{bmatrix} \quad (4.24)$$

$$\mathbf{B}^{(L)T} \mathbf{D} \mathbf{B}_0^{(N)} = \frac{1}{2} \begin{bmatrix} D_{11} \frac{\partial \bar{\mathbf{N}}^T}{\partial x} & D_{21} \frac{\partial \bar{\mathbf{N}}^T}{\partial x} & D_{33} \frac{\partial \bar{\mathbf{N}}^T}{\partial y} \\ D_{12} \frac{\partial \bar{\mathbf{N}}^T}{\partial y} & D_{22} \frac{\partial \bar{\mathbf{N}}^T}{\partial y} & D_{33} \frac{\partial \bar{\mathbf{N}}^T}{\partial x} \end{bmatrix} \begin{bmatrix} \frac{\partial \bar{\mathbf{N}}}{\partial x} \mathbf{u}_{x0} \frac{\partial \bar{\mathbf{N}}}{\partial x} & \frac{\partial \bar{\mathbf{N}}}{\partial x} \mathbf{u}_{y0} \frac{\partial \bar{\mathbf{N}}}{\partial x} \\ \frac{\partial \bar{\mathbf{N}}}{\partial y} \mathbf{u}_{x0} \frac{\partial \bar{\mathbf{N}}}{\partial y} & \frac{\partial \bar{\mathbf{N}}}{\partial y} \mathbf{u}_{y0} \frac{\partial \bar{\mathbf{N}}}{\partial y} \\ \frac{\partial \bar{\mathbf{N}}}{\partial y} \mathbf{u}_{x0} \frac{\partial \bar{\mathbf{N}}}{\partial x} & \frac{\partial \bar{\mathbf{N}}}{\partial y} \mathbf{u}_{y0} \frac{\partial \bar{\mathbf{N}}}{\partial x} \\ + \frac{\partial \bar{\mathbf{N}}}{\partial x} \mathbf{u}_{x0} \frac{\partial \bar{\mathbf{N}}}{\partial y} & + \frac{\partial \bar{\mathbf{N}}}{\partial x} \mathbf{u}_{y0} \frac{\partial \bar{\mathbf{N}}}{\partial y} \end{bmatrix} \quad (4.25)$$

$$\mathbf{B}_0^{(N)T} \mathbf{D} \mathbf{B}_0^{(N)} = \frac{1}{4} \begin{bmatrix} \frac{\partial \bar{\mathbf{N}}^T}{\partial x} \mathbf{u}_{x0} \frac{\partial \bar{\mathbf{N}}^T}{\partial x} & \frac{\partial \bar{\mathbf{N}}^T}{\partial y} \mathbf{u}_{x0} \frac{\partial \bar{\mathbf{N}}^T}{\partial y} & \frac{\partial \bar{\mathbf{N}}^T}{\partial x} \mathbf{u}_{x0} \frac{\partial \bar{\mathbf{N}}^T}{\partial y} + \frac{\partial \bar{\mathbf{N}}^T}{\partial y} \mathbf{u}_{x0} \frac{\partial \bar{\mathbf{N}}^T}{\partial x} \\ \frac{\partial \bar{\mathbf{N}}^T}{\partial x} \mathbf{u}_{y0} \frac{\partial \bar{\mathbf{N}}^T}{\partial x} & \frac{\partial \bar{\mathbf{N}}^T}{\partial y} \mathbf{u}_{y0} \frac{\partial \bar{\mathbf{N}}^T}{\partial y} & \frac{\partial \bar{\mathbf{N}}^T}{\partial x} \mathbf{u}_{y0} \frac{\partial \bar{\mathbf{N}}^T}{\partial y} + \frac{\partial \bar{\mathbf{N}}^T}{\partial y} \mathbf{u}_{y0} \frac{\partial \bar{\mathbf{N}}^T}{\partial x} \end{bmatrix} \quad (4.26)$$

$$\times \begin{bmatrix} D_{11} \mathbf{u}_{x0} \frac{\partial \bar{\mathbf{N}}^T}{\partial x} \frac{\partial \bar{\mathbf{N}}}{\partial x} + D_{12} \mathbf{u}_{x0} \frac{\partial \bar{\mathbf{N}}^T}{\partial y} \frac{\partial \bar{\mathbf{N}}}{\partial y} & D_{11} \mathbf{u}_{y0} \frac{\partial \bar{\mathbf{N}}^T}{\partial x} \frac{\partial \bar{\mathbf{N}}}{\partial x} + D_{12} \mathbf{u}_{y0} \frac{\partial \bar{\mathbf{N}}^T}{\partial y} \frac{\partial \bar{\mathbf{N}}}{\partial y} \\ D_{21} \mathbf{u}_{x0} \frac{\partial \bar{\mathbf{N}}^T}{\partial x} \frac{\partial \bar{\mathbf{N}}}{\partial x} + D_{22} \mathbf{u}_{x0} \frac{\partial \bar{\mathbf{N}}^T}{\partial y} \frac{\partial \bar{\mathbf{N}}}{\partial y} & D_{21} \mathbf{u}_{y0} \frac{\partial \bar{\mathbf{N}}^T}{\partial x} \frac{\partial \bar{\mathbf{N}}}{\partial x} + D_{22} \mathbf{u}_{y0} \frac{\partial \bar{\mathbf{N}}^T}{\partial y} \frac{\partial \bar{\mathbf{N}}}{\partial y} \\ D_{33} \left( \frac{\partial \bar{\mathbf{N}}}{\partial y} \mathbf{u}_{x0} \frac{\partial \bar{\mathbf{N}}}{\partial x} + \frac{\partial \bar{\mathbf{N}}}{\partial x} \mathbf{u}_{x0} \frac{\partial \bar{\mathbf{N}}}{\partial y} \right) & D_{33} \left( \frac{\partial \bar{\mathbf{N}}}{\partial y} \mathbf{u}_{y0} \frac{\partial \bar{\mathbf{N}}}{\partial x} + \frac{\partial \bar{\mathbf{N}}}{\partial x} \mathbf{u}_{y0} \frac{\partial \bar{\mathbf{N}}}{\partial y} \right) \end{bmatrix}$$

ただし、 $D_{11} \sim D_{33}$  は  $\mathbf{D}$  マトリックスの成分である。

(4.15)式、(4.16)式を数値積分（ガウス積分）によって計算する場合、次式となる。

$$\mathbf{k}^{(L)} = t \sum_{p=1}^n \sum_{q=1}^n \left( \boldsymbol{\chi}^{(L)} \mathbf{B}_d(\xi_p, \eta_q) \right)^T \mathbf{D} \left( \boldsymbol{\chi}^{(L)} \mathbf{B}_d(\xi_p, \eta_q) \right) |J| w_p w_q \quad (4.27)$$

$$\mathbf{k}_0^{(\sigma)} = t \sum_{p=1}^n \sum_{q=1}^n \mathbf{B}_d(\xi_p, \eta_q)^T \mathbf{S}_0 \mathbf{B}_d(\xi_p, \eta_q) |J| w_p w_q \quad (4.28)$$

$$\begin{aligned} \mathbf{k}_0^{(u)} &= 2t \sum_{p=1}^n \sum_{q=1}^n \mathbf{B}_0^{(N)}(\xi_p, \eta_q)^T \mathbf{D} \mathbf{B}^{(L)}(\xi_p, \eta_q) |J| w_p w_q \\ &+ 2t \sum_{p=1}^n \sum_{q=1}^n \mathbf{B}^{(L)}(\xi_p, \eta_q)^T \mathbf{D} \mathbf{B}_0^{(N)}(\xi_p, \eta_q) |J| w_p w_q \\ &+ 4t \sum_{p=1}^n \sum_{q=1}^n \mathbf{B}_0^{(N)}(\xi_p, \eta_q)^T \mathbf{D} \mathbf{B}_0^{(N)}(\xi_p, \eta_q) |J| w_p w_q \end{aligned} \quad (4.29)$$

ここに、 $t$  は板厚、 $n$  はガウス積分点数で、ここでは 2 でよい。 $\xi_p, \eta_q$  は、ガウス積分の  $\xi, \eta$  方向の選点の値、 $w_p, w_q$  は重み係数値で、2 点積分の場合次のようになる。

$$\begin{aligned} \xi_1 &= \eta_1 = -0.57735026918963 \\ \xi_2 &= \eta_2 = 0.57735026918963 \\ w_1 &= w_2 = 1 \end{aligned} \quad (4.30)$$

また、応力の増分値は(3.4)式から求められる。すなわち、

$$\Delta \boldsymbol{\sigma} = \mathbf{D} \Delta \boldsymbol{\varepsilon} = \mathbf{D} \left( \mathbf{B}^{(L)} + 2\mathbf{B}^{(N)} \right) \Delta \mathbf{U}^e \quad (4.31)$$

また、 $\mathbf{D}$  は(4.20)式、 $\mathbf{B}^{(L)}$  は(4.18)式、 $\mathbf{B}^{(N)}$  は(4.19)式の変位を更新後のものによって求



められる。

## 5 曲げ変形要素の剛性マトリックス

図 5.1 に示すような座標系のもとで，板中央面の  $z$  軸方向変位を  $w$  とし，Kirchhoff の仮定が成り立つとすると，板曲げ問題における板の任意点の変位  $u_x, u_y, u_z$  は次式のように仮定できる。

$$u_x = -z \frac{\partial w(x, y)}{\partial x}, \quad u_y = -z \frac{\partial w(x, y)}{\partial y}, \quad u_z = w(x, y) \quad (5.1)$$

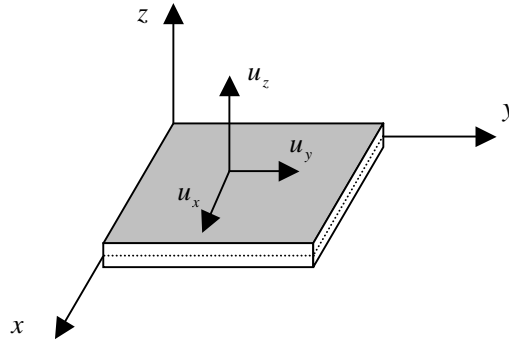


図 5.1 板の座標系と変位

上式を(1.3)式の歪 - 変位関係式に代入すると，

$$\begin{aligned} \varepsilon_x &= -z \frac{\partial^2 w}{\partial x^2} + \frac{1}{2} \left\{ z^2 \left( \frac{\partial^2 w}{\partial x^2} \right)^2 + z^2 \left( \frac{\partial^2 w}{\partial x \partial y} \right)^2 + \left( \frac{\partial w}{\partial x} \right)^2 \right\} \\ \varepsilon_y &= -z \frac{\partial^2 w}{\partial y^2} + \frac{1}{2} \left\{ z^2 \left( \frac{\partial^2 w}{\partial x \partial y} \right)^2 + z^2 \left( \frac{\partial^2 w}{\partial y^2} \right)^2 + \left( \frac{\partial w}{\partial y} \right)^2 \right\} \\ \varepsilon_z &= \frac{1}{2} \left\{ \left( \frac{\partial w}{\partial x} \right)^2 + \left( \frac{\partial w}{\partial y} \right)^2 \right\} \\ \gamma_{xy} &= -2z \frac{\partial^2 w}{\partial x \partial y} + z^2 \frac{\partial^2 w}{\partial x \partial y} \left( \frac{\partial^2 w}{\partial x^2} + \frac{\partial^2 w}{\partial y^2} \right) + \frac{\partial w}{\partial x} \frac{\partial w}{\partial y} \\ \gamma_{yz} &= z \frac{\partial^2 w}{\partial x \partial y} \frac{\partial w}{\partial x} + z \frac{\partial^2 w}{\partial y^2} \frac{\partial w}{\partial y} \\ \gamma_{zx} &= z \frac{\partial^2 w}{\partial x^2} \frac{\partial w}{\partial x} + z \frac{\partial^2 w}{\partial x \partial y} \frac{\partial w}{\partial y} \end{aligned} \quad (5.2)$$

von Kármán の理論では，非線形項は  $\partial w / \partial x, \partial w / \partial y$  の項のみを残し，その他の非線形項は 0 とする。したがって，この理論によれば(5.2)式は次のように簡略化される。

$$\begin{aligned}
\varepsilon_x &= -z \frac{\partial^2 w}{\partial x^2} + \frac{1}{2} \left( \frac{\partial w}{\partial x} \right)^2 \\
\varepsilon_y &= -z \frac{\partial^2 w}{\partial y^2} + \frac{1}{2} \left( \frac{\partial w}{\partial y} \right)^2 \\
\gamma_{xy} &= -2z \frac{\partial^2 w}{\partial x \partial y} + \frac{\partial w}{\partial x} \frac{\partial w}{\partial y}
\end{aligned} \tag{5.3}$$

この場合、非線形項に関する変位勾配  $\mathbf{d}$  は次のようになる。

$$\mathbf{d}^T = \left\{ \frac{\partial u_z}{\partial x} \quad \frac{\partial u_z}{\partial y} \right\} = \left\{ \frac{\partial w}{\partial x} \quad \frac{\partial w}{\partial y} \right\} \tag{5.4}$$

ここでは、図 5.2 に示すような 4 節点非適合板曲げ要素を考える。正規化された座標系  $\xi, \eta$  のもとで、要素内のたわみ分布を次式で仮定する。

$$w = \alpha_1 + \alpha_2 \xi + \alpha_3 \eta + \alpha_4 \xi^2 + \alpha_5 \xi \eta + \alpha_6 \eta^2 + \alpha_7 \xi^3 + \alpha_8 \xi^2 \eta + \alpha_9 \xi \eta^2 + \alpha_{10} \eta^3 + \alpha_{11} \xi \eta^3 + \alpha_{12} \xi^3 \eta \tag{5.5}$$

各節点の自由度をたわみ  $w$  と、 $\xi, \eta$  軸まわりの回転角  $\theta_\xi, \theta_\eta$  の 3 自由度とし、正規化された座標で補間関数を求めると、次式のようにになる。

$$w = \bar{\mathbf{N}}^b \bar{\mathbf{w}} \tag{5.6}$$

ここに、

$$\bar{\mathbf{N}}^b = \left[ \bar{N}_1^b \quad \bar{N}_2^b \quad \bar{N}_3^b \quad \bar{N}_4^b \quad \bar{N}_5^b \quad \bar{N}_6^b \quad \bar{N}_7^b \quad \bar{N}_8^b \quad \bar{N}_9^b \quad \bar{N}_{10}^b \quad \bar{N}_{11}^b \quad \bar{N}_{12}^b \right] \tag{5.7}$$

$$\bar{\mathbf{w}}^T = \left[ w_1 \quad \theta_{\xi 1} \quad \theta_{\eta 1} \quad w_2 \quad \theta_{\xi 2} \quad \theta_{\eta 2} \quad w_3 \quad \theta_{\xi 3} \quad \theta_{\eta 3} \quad w_4 \quad \theta_{\xi 4} \quad \theta_{\eta 4} \right] \tag{5.8}$$

ただし、

$$\theta_\xi = \frac{\partial w}{\partial \eta}, \quad \theta_\eta = -\frac{\partial w}{\partial \xi} \tag{5.9}$$

なお、回転角は座標の正方向に右ねじまわりを正としている。

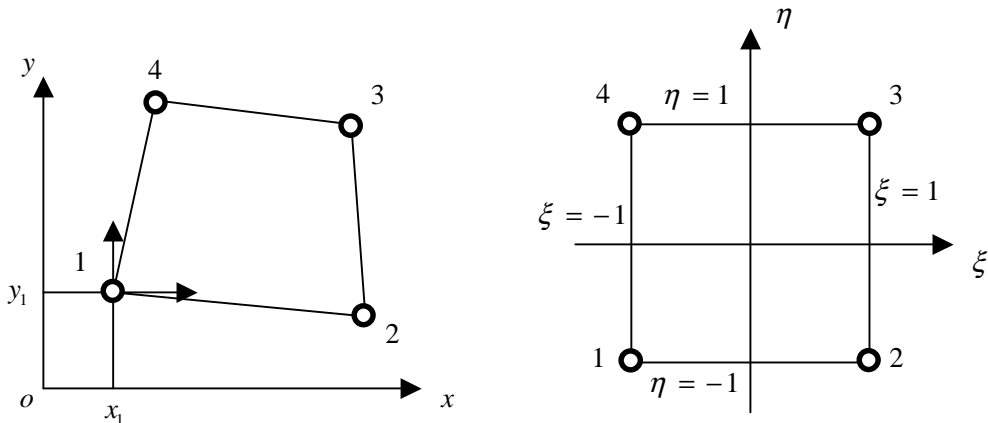


図 5.1 4 節点非適合板曲げ要素

また、(5.7)式の  $\bar{N}_1^b \sim \bar{N}_{12}^b$  は以下のようにになる。

$$\begin{aligned}
\bar{N}_1^b &= \frac{1}{8}(1-\xi)(1-\eta)(2-\xi-\eta-\xi^2-\eta^2) & \bar{N}_7^b &= \frac{1}{8}(1+\xi)(1+\eta)(2+\xi+\eta-\xi^2-\eta^2) \\
\bar{N}_2^b &= \frac{1}{8}(1-\xi)(1-\eta)^2(1+\eta) & \bar{N}_8^b &= -\frac{1}{8}(1+\xi)(1+\eta)^2(1-\eta) \\
\bar{N}_3^b &= -\frac{1}{8}(1-\xi)^2(1+\xi)(1-\eta) & \bar{N}_9^b &= \frac{1}{8}(1+\xi)^2(1-\xi)(1+\eta) \\
\bar{N}_4^b &= \frac{1}{8}(1+\xi)(1-\eta)(2+\xi-\eta-\xi^2-\eta^2) & \bar{N}_{10}^b &= \frac{1}{8}(1-\xi)(1+\eta)(2-\xi+\eta-\xi^2-\eta^2) \\
\bar{N}_5^b &= \frac{1}{8}(1+\xi)(1-\eta)^2(1+\eta) & \bar{N}_{11}^b &= -\frac{1}{8}(1-\xi)(1+\eta)^2(1-\eta) \\
\bar{N}_6^b &= \frac{1}{8}(1+\xi)^2(1-\xi)(1-\eta) & \bar{N}_{12}^b &= -\frac{1}{8}(1-\xi)^2(1+\xi)(1+\eta)
\end{aligned} \tag{5.10}$$

(4.7)式と同様に，要素の  $x, y$  座標は，節点の座標値を用いて次式のように表す。

$$x = \bar{\mathbf{N}}\mathbf{x}, \quad y = \bar{\mathbf{N}}\mathbf{y} \tag{5.11}$$

ここに，

$$\begin{aligned}
\bar{\mathbf{N}} &= [N_1 \quad N_2 \quad N_3 \quad N_4] \\
\mathbf{x}^T &= \{x_1 \quad x_2 \quad x_3 \quad x_4\}, \quad \mathbf{y}^T = \{y_1 \quad y_2 \quad y_3 \quad y_4\}
\end{aligned} \tag{5.12}$$

ただし，

$$N_1 = \frac{1}{4}(1-\xi)(1-\eta), \quad N_2 = \frac{1}{4}(1+\xi)(1-\eta), \quad N_3 = \frac{1}{4}(1+\xi)(1+\eta), \quad N_4 = \frac{1}{4}(1-\xi)(1+\eta) \tag{5.13}$$

また， $x, y$  に関する 1 階の偏微分次式から求められる。

$$\begin{Bmatrix} \frac{\partial}{\partial \xi} \\ \frac{\partial}{\partial \eta} \end{Bmatrix} = \begin{bmatrix} \frac{\partial x}{\partial \xi} & \frac{\partial y}{\partial \xi} \\ \frac{\partial x}{\partial \eta} & \frac{\partial y}{\partial \eta} \end{bmatrix} \begin{Bmatrix} \frac{\partial}{\partial x} \\ \frac{\partial}{\partial y} \end{Bmatrix} = \mathbf{J} \begin{Bmatrix} \frac{\partial}{\partial x} \\ \frac{\partial}{\partial y} \end{Bmatrix} \tag{5.14}$$

$$\begin{Bmatrix} \frac{\partial}{\partial x} \\ \frac{\partial}{\partial y} \end{Bmatrix} = \mathbf{J}^{-1} \begin{Bmatrix} \frac{\partial}{\partial \xi} \\ \frac{\partial}{\partial \eta} \end{Bmatrix} \tag{5.15}$$

(5.11)式より，ヤコビアンマトリックス  $\mathbf{J}$  および  $\mathbf{J}^{-1}$  は次式のように計算される。

$$\mathbf{J} = \begin{bmatrix} \frac{\partial \bar{\mathbf{N}}}{\partial \xi} \mathbf{x} & \frac{\partial \bar{\mathbf{N}}}{\partial \xi} \mathbf{y} \\ \frac{\partial \bar{\mathbf{N}}}{\partial \eta} \mathbf{x} & \frac{\partial \bar{\mathbf{N}}}{\partial \eta} \mathbf{y} \end{bmatrix}, \quad \mathbf{J}^{-1} = \frac{1}{|\mathbf{J}|} \begin{bmatrix} \frac{\partial \bar{\mathbf{N}}}{\partial \eta} \mathbf{y} & -\frac{\partial \bar{\mathbf{N}}}{\partial \xi} \mathbf{y} \\ -\frac{\partial \bar{\mathbf{N}}}{\partial \eta} \mathbf{x} & \frac{\partial \bar{\mathbf{N}}}{\partial \xi} \mathbf{x} \end{bmatrix} \tag{5.16}$$

$$|\mathbf{J}| = \frac{\partial \bar{\mathbf{N}}}{\partial \xi} \mathbf{x} \cdot \frac{\partial \bar{\mathbf{N}}}{\partial \eta} \mathbf{y} - \frac{\partial \bar{\mathbf{N}}}{\partial \xi} \mathbf{y} \cdot \frac{\partial \bar{\mathbf{N}}}{\partial \eta} \mathbf{x} \tag{5.17}$$

ここに， $|\mathbf{J}|$  は  $\mathbf{J}$  の行列式，また，(5.13)式より，

$$\begin{aligned}\frac{\partial \bar{\mathbf{N}}}{\partial \xi} &= \begin{bmatrix} -\frac{1}{4}(1-\eta) & \frac{1}{4}(1-\eta) & \frac{1}{4}(1+\eta) & -\frac{1}{4}(1+\eta) \end{bmatrix} \\ \frac{\partial \bar{\mathbf{N}}}{\partial \eta} &= \begin{bmatrix} -\frac{1}{4}(1-\xi) & -\frac{1}{4}(1+\xi) & \frac{1}{4}(1+\xi) & \frac{1}{4}(1-\xi) \end{bmatrix}\end{aligned}\quad (5.18)$$

となる。

(5.14)式より，(5.9)式は，

$$\begin{aligned}\theta_\xi &= \frac{\partial w}{\partial \eta} = -J_{21} \left( -\frac{\partial w}{\partial x} \right) + J_{22} \frac{\partial w}{\partial y} = -J_{21} \theta_y + J_{22} \theta_x \\ \theta_\eta &= -\frac{\partial w}{\partial \xi} = J_{11} \left( -\frac{\partial w}{\partial x} \right) - J_{12} \frac{\partial w}{\partial y} = J_{11} \theta_y - J_{12} \theta_x\end{aligned}\quad (5.19)$$

したがって， $\xi, \eta$  座標系で定義された変位ベクトル  $\bar{\mathbf{w}}$  は次式によって  $x, y$  座標系の変位ベクトル  $\mathbf{U}^e$  に変換される。

$$\bar{\mathbf{w}} = \mathbf{t}^R \mathbf{U}^e \quad (5.20)$$

ここに，

$$\begin{aligned}\mathbf{t}^R &= \begin{bmatrix} \bar{\mathbf{t}}^R & \mathbf{0} & \mathbf{0} & \mathbf{0} \\ \mathbf{0} & \bar{\mathbf{t}}^R & \mathbf{0} & \mathbf{0} \\ \mathbf{0} & \mathbf{0} & \bar{\mathbf{t}}^R & \mathbf{0} \\ \mathbf{0} & \mathbf{0} & \mathbf{0} & \bar{\mathbf{t}}^R \end{bmatrix}, \quad \bar{\mathbf{t}}^R = \begin{bmatrix} 1 & 0 & 0 \\ 0 & J_{22} & -J_{21} \\ 0 & -J_{12} & J_{11} \end{bmatrix} \\ \mathbf{U}^e &= [w_1 \quad \theta_{x1} \quad \theta_{y1} \quad w_2 \quad \theta_{x2} \quad \theta_{y2} \quad w_3 \quad \theta_{x3} \quad \theta_{y3} \quad w_4 \quad \theta_{x4} \quad \theta_{y4}]\end{aligned}\quad (5.21)$$

したがって，(5.6)式は，

$$w = \bar{\mathbf{N}}^b \bar{\mathbf{w}} = \bar{\mathbf{N}}^b \mathbf{t}^R \mathbf{U}^e = \mathbf{N}^b \mathbf{U}^e \quad (5.22)$$

となる。ここに，

$$\mathbf{N}^b = \bar{\mathbf{N}}^b \mathbf{t}^R = [\bar{\mathbf{N}}_1^b \bar{\mathbf{t}}^R \quad \bar{\mathbf{N}}_2^b \bar{\mathbf{t}}^R \quad \bar{\mathbf{N}}_3^b \bar{\mathbf{t}}^R \quad \bar{\mathbf{N}}_4^b \bar{\mathbf{t}}^R] \quad (5.23)$$

ただし，

$$\begin{aligned}\bar{\mathbf{N}}_1^b \bar{\mathbf{t}}^R &= [N_1^b \quad N_2^b \quad N_3^b] \bar{\mathbf{t}}^R = [N_1^b \quad J_{22} N_2^b - J_{12} N_3^b \quad -J_{21} N_2^b + J_{11} N_3^b] \\ \bar{\mathbf{N}}_2^b \bar{\mathbf{t}}^R &= [N_4^b \quad N_5^b \quad N_6^b] \bar{\mathbf{t}}^R = [N_4^b \quad J_{22} N_5^b - J_{12} N_6^b \quad -J_{21} N_5^b + J_{11} N_6^b] \\ \bar{\mathbf{N}}_3^b \bar{\mathbf{t}}^R &= [N_7^b \quad N_8^b \quad N_9^b] \bar{\mathbf{t}}^R = [N_7^b \quad J_{22} N_8^b - J_{12} N_9^b \quad -J_{21} N_8^b + J_{11} N_9^b] \\ \bar{\mathbf{N}}_4^b \bar{\mathbf{t}}^R &= [N_{10}^b \quad N_{11}^b \quad N_{12}^b] \bar{\mathbf{t}}^R = [N_{10}^b \quad J_{22} N_{11}^b - J_{12} N_{12}^b \quad -J_{21} N_{11}^b + J_{11} N_{12}^b]\end{aligned}\quad (5.24)$$

(5.22)式を歪 - 変位関係式(5.3)の線形成分に代入すると，(2.4)式で定義される線形の歪マトリックス  $\mathbf{B}^{(L)}$  は次式となる。

$$\mathbf{B}^{(L)} = \begin{bmatrix} -z \frac{\partial^2 \mathbf{N}^b}{\partial x^2} \\ -z \frac{\partial^2 \mathbf{N}^b}{\partial y^2} \\ -2z \frac{\partial^2 \mathbf{N}^b}{\partial x \partial y} \end{bmatrix} \quad (5.25)$$

したがって，(3.8)式の弾性剛性マトリックスは次式から求められる。

$$\mathbf{k}^{(L)} = \int_{\Omega^e} \mathbf{B}^{(L)T} \mathbf{D} \mathbf{B}^{(L)} d\Omega \quad (5.26)$$

ただし， $\mathbf{D}$ は平面応力状態の式

$$\mathbf{D} = \frac{E}{1-\nu^2} \begin{bmatrix} 1 & \nu & 0 \\ \nu & 1 & 0 \\ 0 & 0 & (1-\nu)/2 \end{bmatrix} \quad (5.27)$$

が用いられる。

(5.26)式の被積分項を計算すると，

$$\begin{aligned} \mathbf{B}^{(L)T} \mathbf{D} \mathbf{B}^{(L)} &= \begin{bmatrix} -z \frac{\partial^2 \mathbf{N}^{bT}}{\partial x^2} & -z \frac{\partial^2 \mathbf{N}^{bT}}{\partial y^2} & -2z \frac{\partial^2 \mathbf{N}^{bT}}{\partial x \partial y} \\ -z \left( D_{11} \frac{\partial^2 \mathbf{N}^b}{\partial x^2} + D_{12} \frac{\partial^2 \mathbf{N}^b}{\partial y^2} \right) \\ -z \left( D_{21} \frac{\partial^2 \mathbf{N}^b}{\partial x^2} + D_{22} \frac{\partial^2 \mathbf{N}^b}{\partial y^2} \right) \\ -2z D_{33} \frac{\partial^2 \mathbf{N}^b}{\partial x \partial y} \end{bmatrix} \\ &= z^2 \left( D_{11} \frac{\partial^2 \mathbf{N}^{bT}}{\partial x^2} \frac{\partial^2 \mathbf{N}^b}{\partial x^2} + D_{12} \frac{\partial^2 \mathbf{N}^{bT}}{\partial x^2} \frac{\partial^2 \mathbf{N}^b}{\partial y^2} + D_{21} \frac{\partial^2 \mathbf{N}^{bT}}{\partial y^2} \frac{\partial^2 \mathbf{N}^b}{\partial x^2} + D_{22} \frac{\partial^2 \mathbf{N}^{bT}}{\partial y^2} \frac{\partial^2 \mathbf{N}^b}{\partial y^2} + 4D_{33} \frac{\partial^2 \mathbf{N}^{bT}}{\partial x \partial y} \frac{\partial^2 \mathbf{N}^b}{\partial x \partial y} \right) \end{aligned} \quad (5.28)$$

ただし， $D_{11} \sim D_{33}$ は $\mathbf{D}$ マトリックスの成分である。なお， $x, y$ に関する2階微分の計算法に関しては，付録A参照。

また，板厚を $t$ とし， $[-t/2, t/2]$ の区間で $z$ 方向の積分を解析的に行い， $x, y$ 方向に関しては，ガウスの2点積分を行うと，

$$\mathbf{k}^{(L)} = \frac{t^3}{12} \sum_{p=1}^2 \sum_{q=1}^2 \mathbf{B}^{(L)}(\xi_p, \eta_q)^T \mathbf{D} \mathbf{B}^{(L)}(\xi_p, \eta_q) |\mathbf{J}| w_p w_q \quad (5.29)$$

一方，(5.4)式より，

$$\mathbf{d}^T = \left\{ \frac{\partial u_z}{\partial x} \quad \frac{\partial u_z}{\partial y} \right\} = \left\{ \frac{\partial w}{\partial x} \quad \frac{\partial w}{\partial y} \right\} \quad (5.30)$$

であるから，(5.22)式を代入すると，

$$\mathbf{d} = \begin{Bmatrix} \frac{\partial w}{\partial x} \\ \frac{\partial w}{\partial y} \end{Bmatrix} = \begin{bmatrix} \frac{\partial \mathbf{N}^b}{\partial x} \\ \frac{\partial \mathbf{N}^b}{\partial y} \end{bmatrix} \mathbf{U}^e = \mathbf{B}_d \mathbf{U}^e \quad (5.31)$$

したがって，(3.10)式の初期応力マトリックスは，

$$\mathbf{k}_0^{(\sigma)} = \int_{\Omega^e} \mathbf{B}_d^T \mathbf{S}_0 \mathbf{B}_d d\Omega \quad (5.32)$$

ただし，

$$\begin{aligned}
\mathbf{B}_d^T \mathbf{S}_0 \mathbf{B}_d &= \begin{bmatrix} \frac{\partial \mathbf{N}^{bT}}{\partial x} & \frac{\partial \mathbf{N}^{bT}}{\partial y} \end{bmatrix} \begin{bmatrix} \sigma_{x0} & \tau_{xy0} \\ \tau_{xy0} & \sigma_{y0} \end{bmatrix} \begin{bmatrix} \frac{\partial \mathbf{N}^b}{\partial x} \\ \frac{\partial \mathbf{N}^b}{\partial y} \end{bmatrix} \\
&= \sigma_{x0} \frac{\partial \mathbf{N}^{bT}}{\partial x} \frac{\partial \mathbf{N}^b}{\partial x} + \tau_{xy0} \frac{\partial \mathbf{N}^{bT}}{\partial x} \frac{\partial \mathbf{N}^b}{\partial y} + \tau_{xy0} \frac{\partial \mathbf{N}^{bT}}{\partial y} \frac{\partial \mathbf{N}^b}{\partial x} + \sigma_{y0} \frac{\partial \mathbf{N}^{bT}}{\partial y} \frac{\partial \mathbf{N}^b}{\partial y}
\end{aligned} \tag{5.33}$$

上式の微分の計算は次式により行うことができる。

$$\begin{bmatrix} \frac{\partial \mathbf{N}^b}{\partial x} \\ \frac{\partial \mathbf{N}^b}{\partial y} \end{bmatrix} = \mathbf{J}^{-1} \begin{bmatrix} \frac{\partial \mathbf{N}^b}{\partial \xi} \\ \frac{\partial \mathbf{N}^b}{\partial \eta} \end{bmatrix} \tag{5.34}$$

なお、 $\bar{\mathbf{N}}^b$  の  $\xi, \eta$  に関する微分は付録 B 参照。

(5.33)式を(5.32)式に代入して、ガウス積分を行うと、

$$\mathbf{k}_0^{(\sigma)} = \frac{t}{2} \sum_{r=1}^2 \sum_{p=1}^2 \sum_{q=1}^2 \mathbf{B}_d(\xi_p, \eta_q)^T \mathbf{S}_0(\xi_p, \eta_q, \zeta_r) \mathbf{B}_d(\xi_p, \eta_q) |\mathbf{J}| w_p w_q w_r \tag{5.35}$$

ただし、 $z = (t/2)\zeta$  である。なお、積分点数は面内変形問題と合わせるために 2 点積分とする。

また、初期変位マトリックスは、

$$\mathbf{k}_0^{(u)} = 2 \int_{\Omega^e} \mathbf{B}_0^{(N)T} \mathbf{D} \mathbf{B}^{(L)} d\Omega + 2 \int_{\Omega^e} \mathbf{B}^{(L)T} \mathbf{D} \mathbf{B}_0^{(N)} d\Omega + 4 \int_{\Omega^e} \mathbf{B}_0^{(N)T} \mathbf{D} \mathbf{B}_0^{(N)} d\Omega \tag{5.36}$$

であり、

$$\mathbf{B}_0^{(N)} = \frac{1}{2} \boldsymbol{\chi}_0^{(N)} \mathbf{B}_d = \frac{1}{2} \begin{bmatrix} \frac{\partial \mathbf{N}^b}{\partial x} \mathbf{U}_0^e & \mathbf{0} \\ \mathbf{0} & \frac{\partial \mathbf{N}^b}{\partial y} \mathbf{U}_0^e \\ \frac{\partial \mathbf{N}^b}{\partial y} \mathbf{U}_0^e & \frac{\partial \mathbf{N}^b}{\partial x} \mathbf{U}_0^e \end{bmatrix} \begin{bmatrix} \frac{\partial \mathbf{N}^b}{\partial x} \\ \frac{\partial \mathbf{N}^b}{\partial y} \end{bmatrix} = \frac{1}{2} \begin{bmatrix} \frac{\partial \mathbf{N}^b}{\partial x} \mathbf{U}_0^e \frac{\partial \mathbf{N}^b}{\partial x} \\ \frac{\partial \mathbf{N}^b}{\partial y} \mathbf{U}_0^e \frac{\partial \mathbf{N}^b}{\partial y} \\ \frac{\partial \mathbf{N}^b}{\partial y} \mathbf{U}_0^e \frac{\partial \mathbf{N}^b}{\partial x} + \frac{\partial \mathbf{N}^b}{\partial x} \mathbf{U}_0^e \frac{\partial \mathbf{N}^b}{\partial y} \end{bmatrix} \tag{5.37}$$

ただし、 $\mathbf{U}_0^e$  は前ステップの変位ベクトルである。この場合、 $\int_{\Omega^e} \mathbf{B}_0^{(N)T} \mathbf{D} \mathbf{B}^{(L)} d\Omega$ 、 $\int_{\Omega^e} \mathbf{B}^{(L)T} \mathbf{D} \mathbf{B}_0^{(N)} d\Omega$  は

$z$  軸方向の積分で 0 となる。また、

$$\mathbf{B}_0^{(N)T} \mathbf{D} \mathbf{B}_0^{(N)} = \frac{1}{4} \begin{bmatrix} \frac{\partial \mathbf{N}^{bT}}{\partial x} \mathbf{U}_0^{eT} \frac{\partial \mathbf{N}^{bT}}{\partial x} & \frac{\partial \mathbf{N}^{bT}}{\partial y} \mathbf{U}_0^{eT} \frac{\partial \mathbf{N}^{bT}}{\partial y} \\ \frac{\partial \mathbf{N}^{bT}}{\partial y} \mathbf{U}_0^{eT} \frac{\partial \mathbf{N}^{bT}}{\partial x} & \frac{\partial \mathbf{N}^{bT}}{\partial x} \mathbf{U}_0^{eT} \frac{\partial \mathbf{N}^{bT}}{\partial y} \end{bmatrix} + \frac{\partial \mathbf{N}^{bT}}{\partial y} \mathbf{U}_0^{eT} \frac{\partial \mathbf{N}^{bT}}{\partial x} \begin{bmatrix} D_{11} \frac{\partial \mathbf{N}^b}{\partial x} \mathbf{U}_0^e \frac{\partial \mathbf{N}^b}{\partial x} + D_{12} \frac{\partial \mathbf{N}^b}{\partial y} \mathbf{U}_0^e \frac{\partial \mathbf{N}^b}{\partial y} \\ D_{21} \frac{\partial \mathbf{N}^b}{\partial x} \mathbf{U}_0^e \frac{\partial \mathbf{N}^b}{\partial x} + D_{22} \frac{\partial \mathbf{N}^b}{\partial y} \mathbf{U}_0^e \frac{\partial \mathbf{N}^b}{\partial y} \\ D_{33} \frac{\partial \mathbf{N}^b}{\partial y} \left( \mathbf{U}_0^e \frac{\partial \mathbf{N}^b}{\partial x} + \frac{\partial \mathbf{N}^b}{\partial x} \mathbf{U}_0^e \frac{\partial \mathbf{N}^b}{\partial y} \right) \end{bmatrix} \tag{5.38}$$

となる。(5.38)-(5.40)式を(5.36)式に代入して、 $z$  に関して積分すると次式となる。

$$\mathbf{k}_0^{(u)} = 4t \sum_{p=1}^2 \sum_{q=1}^2 \mathbf{B}_0^{(N)T}(\xi_p, \eta_q) \mathbf{D} \mathbf{B}_0^{(N)}(\xi_p, \eta_q) |\mathbf{J}| w_p w_q \quad (5.39)$$

(5.29), (5.35), (5.39)式の積分点と重みは次の通りである。

$$\begin{aligned} \xi_1 = \eta_1 = \zeta_1 &= -0.57735026918963 \\ \xi_2 = \eta_2 = \zeta_2 &= 0.57735026918963 \\ w_1 = w_2 &= 1 \end{aligned} \quad (5.40)$$

また, 応力の増分値は(3.4)式から求められる。すなわち,

$$\Delta \boldsymbol{\sigma} = \mathbf{D} \Delta \boldsymbol{\varepsilon} = \mathbf{D} (\mathbf{B}^{(L)} + 2\mathbf{B}^{(N)}) \Delta \mathbf{U}^e \quad (5.41)$$

ここに,  $\mathbf{D}$  は(5.27)式,  $\mathbf{B}^{(L)}$  は(5.25)式,  $\mathbf{B}^{(N)}$  は(5.37)式の変位を更新後のものにするによって求められる。

## 6 平面シェル要素の剛性マトリックス

板曲げ問題に von Kármán の理論を適用すると, (1.4)式と(5.3)式により平面シェル要素のひずみ-変位関係は次のようになる。

$$\begin{aligned} \varepsilon_x &= \frac{\partial u_x}{\partial x} - z \frac{\partial^2 w}{\partial x^2} + \frac{1}{2} \left[ \left( \frac{\partial u_x}{\partial x} \right)^2 + \left( \frac{\partial u_y}{\partial x} \right)^2 + \left( \frac{\partial w}{\partial x} \right)^2 \right] \\ \varepsilon_y &= \frac{\partial u_y}{\partial y} - z \frac{\partial^2 w}{\partial y^2} + \frac{1}{2} \left[ \left( \frac{\partial u_x}{\partial y} \right)^2 + \left( \frac{\partial u_y}{\partial y} \right)^2 + \left( \frac{\partial w}{\partial y} \right)^2 \right] \\ \gamma_{xy} &= \frac{\partial u_x}{\partial y} + \frac{\partial u_y}{\partial x} - 2z \frac{\partial^2 w}{\partial x \partial y} + \left[ \frac{\partial u_x}{\partial x} \frac{\partial u_x}{\partial y} + \frac{\partial u_y}{\partial x} \frac{\partial u_y}{\partial y} + \frac{\partial w}{\partial x} \frac{\partial w}{\partial y} \right] \end{aligned} \quad (6.1)$$

ただし, ここでは面内変形のみの大変形解析を行う場合も考慮して面内変形時の  $u_x, u_y$  の非線形項を残している。

まず, (6.1)式から得られる線形の剛性マトリックスは面内変形と板曲げ変形で連成しないので, それぞれ(4.15)式および(5.29)式で求められた要素剛性マトリックスを以下の自由度に対応するように組み合わせる。

$$\mathbf{U}^{eT} = \{u_{x1} \ u_{y1} \ u_{z1} \ \theta_{x1} \ \theta_{y1} \ \theta_{z1} \ u_{x2} \ u_{y2} \ u_{y3} \ \theta_{x2} \ \theta_{y2} \ \theta_{z2} \ u_{x3} \ u_{y3} \ u_{z3} \ \theta_{x3} \ \theta_{y3} \ \theta_{z3} \ u_{x4} \ u_{y4} \ u_{z4} \ \theta_{x4} \ \theta_{y4} \ \theta_{z4}\}$$

また,  $z$  軸まわりのねじり変形に対しては, Zienkiewicz らが提案している次式の仮想剛性を付加する。

$$\begin{Bmatrix} M_{z1} \\ M_{z2} \\ M_{z3} \\ M_{z4} \end{Bmatrix} = \alpha EtA \begin{bmatrix} 1 & -\frac{1}{3} & -\frac{1}{3} & -\frac{1}{3} \\ -\frac{1}{3} & 1 & -\frac{1}{3} & -\frac{1}{3} \\ -\frac{1}{3} & -\frac{1}{3} & 1 & -\frac{1}{3} \\ -\frac{1}{3} & -\frac{1}{3} & -\frac{1}{3} & 1 \end{bmatrix} \begin{Bmatrix} \theta_{z1} \\ \theta_{z2} \\ \theta_{z3} \\ \theta_{z4} \end{Bmatrix} = \mathbf{k}^{(L)T} \boldsymbol{\theta}_z \quad (6.2)$$

以上のようにして、 $24 \times 24$  の線形の要素剛性マトリックス  $\mathbf{k}^{(L)}$  を作る事ができる。

初期応力マトリックスに関しては、(6.1)式のひずみに対して(1.8)式の変位勾配ベクトル  $\mathbf{d}$  が次式で定義される。

$$\mathbf{d}^T = \left\{ \frac{\partial u_x}{\partial x} \quad \frac{\partial u_x}{\partial y} \quad \frac{\partial u_y}{\partial x} \quad \frac{\partial u_y}{\partial y} \quad \frac{\partial w}{\partial x} \quad \frac{\partial w}{\partial y} \right\} \quad (6.3)$$

(4.6)式, (5.31)式より,

$$\mathbf{d} = \mathbf{B}_d \mathbf{U}^e \quad (6.4)$$

ここに,

$$\mathbf{B}_d = \begin{bmatrix} \frac{\partial \bar{\mathbf{N}}}{\partial x} & \mathbf{0} & \mathbf{0} \\ \frac{\partial \bar{\mathbf{N}}}{\partial y} & \mathbf{0} & \mathbf{0} \\ \mathbf{0} & \frac{\partial \bar{\mathbf{N}}}{\partial x} & \mathbf{0} \\ \mathbf{0} & \frac{\partial \bar{\mathbf{N}}}{\partial y} & \mathbf{0} \\ \mathbf{0} & \mathbf{0} & \frac{\partial \mathbf{N}^b}{\partial x} \\ \mathbf{0} & \mathbf{0} & \frac{\partial \mathbf{N}^b}{\partial y} \end{bmatrix}, \quad \begin{aligned} \mathbf{U}^{eT} &= \{ \mathbf{u}_x^T \quad \mathbf{u}_y^T \quad \mathbf{u}_z^T \} \\ \mathbf{u}_x^T &= \{ u_{x1} \quad u_{x2} \quad u_{x3} \quad u_{x4} \}, \quad \mathbf{u}_y^T = \{ u_{y1} \quad u_{y2} \quad u_{y3} \quad u_{y4} \} \\ \mathbf{u}_z^T &= \{ w_1 \quad \theta_{x1} \quad \theta_{y1} \quad w_2 \quad \theta_{x2} \quad \theta_{y2} \quad w_3 \quad \theta_{x3} \quad \theta_{y3} \quad w_4 \quad \theta_{x4} \quad \theta_{y4} \} \end{aligned} \quad (6.5)$$

また, (3.6)式より

$$\mathbf{S}_0 = \begin{bmatrix} \sigma_{x0} & & & & & \text{Sym.} \\ \tau_{xy0} & \sigma_{y0} & & & & \\ 0 & 0 & \sigma_{x0} & & & \\ 0 & 0 & \tau_{xy0} & \sigma_{y0} & & \\ 0 & 0 & 0 & 0 & \sigma_{x0} & \\ 0 & 0 & 0 & 0 & \tau_{xy0} & \sigma_{y0} \end{bmatrix} \quad (6.6)$$

したがって, (6.4)式と(6.6)式により初期応力マトリックスは次式から求められる。

$$\mathbf{k}_0^{(\sigma)} = \int_{\Omega^e} \mathbf{B}_d^T \mathbf{S}_0 \mathbf{B}_d d\Omega \quad (6.7)$$

この場合, (6.6)式の  $\mathbf{S}_0$  の性格上初期応力マトリックスも面内変形と板曲げ変形で別々に計算することができる。したがって, 初期応力マトリックスは(4.28)式および(5.35)式で計算したものを線形の剛性マトリックスと同様に自由度に対応して組み合わせればよい。ただし, 応力は共通のものを用いる必要があるため, 応力成分は(4.31)式と(5.41)式で計算されたものを足し合わせる。以上のようにして初期応力マトリックス  $\mathbf{k}^\sigma$  が求められる。

次に, 初期変位マトリックスに関しては, (6.1)式と(1.10)式より



$$\boldsymbol{\chi}^{(N)} = \frac{1}{2} \begin{bmatrix} \frac{\partial u_x}{\partial x} & 0 & \frac{\partial u_y}{\partial x} & 0 & \frac{\partial w}{\partial x} & 0 \\ 0 & \frac{\partial u_x}{\partial y} & 0 & \frac{\partial u_y}{\partial y} & 0 & \frac{\partial w}{\partial y} \\ 0 & 2\frac{\partial u_x}{\partial x} & 0 & 2\frac{\partial u_y}{\partial x} & 0 & 2\frac{\partial w}{\partial x} \end{bmatrix} \quad (6.8)$$

となるので，(4.19)式および(5.37)式より

$$\mathbf{B}_0^{(N)} = (1/2)\boldsymbol{\chi}_0^{(N)}\mathbf{B}_d = \frac{1}{2} \begin{bmatrix} \frac{\partial \bar{\mathbf{N}}}{\partial x} \mathbf{u}_{x0} & \mathbf{0} & \frac{\partial \bar{\mathbf{N}}}{\partial x} \mathbf{u}_{y0} & \mathbf{0} & \frac{\partial \mathbf{N}^b}{\partial x} \mathbf{U}_0^e & 0 \\ \mathbf{0} & \frac{\partial \bar{\mathbf{N}}}{\partial y} \mathbf{u}_{x0} & \mathbf{0} & \frac{\partial \bar{\mathbf{N}}}{\partial y} \mathbf{u}_{y0} & 0 & \frac{\partial \mathbf{N}^b}{\partial y} \mathbf{U}_0^e \\ \mathbf{0} & 2\frac{\partial \bar{\mathbf{N}}}{\partial x} \mathbf{u}_{x0} & \mathbf{0} & 2\frac{\partial \bar{\mathbf{N}}}{\partial x} \mathbf{u}_{y0} & 0 & 2\frac{\partial \mathbf{N}^b}{\partial x} \mathbf{U}_0^e \end{bmatrix} \begin{bmatrix} \frac{\partial \bar{\mathbf{N}}}{\partial x} & \mathbf{0} & \mathbf{0} \\ \frac{\partial \bar{\mathbf{N}}}{\partial y} & \mathbf{0} & \mathbf{0} \\ \mathbf{0} & \frac{\partial \bar{\mathbf{N}}}{\partial x} & \mathbf{0} \\ \mathbf{0} & \frac{\partial \bar{\mathbf{N}}}{\partial y} & \mathbf{0} \\ \mathbf{0} & \mathbf{0} & \frac{\partial \mathbf{N}^b}{\partial x} \\ \mathbf{0} & \mathbf{0} & \frac{\partial \mathbf{N}^b}{\partial y} \end{bmatrix}$$

$$= \frac{1}{2} \begin{bmatrix} \frac{\partial \bar{\mathbf{N}}}{\partial x} \mathbf{u}_{x0} & \frac{\partial \bar{\mathbf{N}}}{\partial x} & \frac{\partial \bar{\mathbf{N}}}{\partial x} \mathbf{u}_{y0} & \frac{\partial \bar{\mathbf{N}}}{\partial x} & \mathbf{U}_0^{eT} & \frac{\partial \mathbf{N}^{bT}}{\partial x} & \frac{\partial \mathbf{N}^b}{\partial x} \\ \frac{\partial \bar{\mathbf{N}}}{\partial y} \mathbf{u}_{x0} & \frac{\partial \bar{\mathbf{N}}}{\partial y} & \frac{\partial \bar{\mathbf{N}}}{\partial y} \mathbf{u}_{y0} & \frac{\partial \bar{\mathbf{N}}}{\partial y} & \mathbf{U}_0^{eT} & \frac{\partial \mathbf{N}^{bT}}{\partial y} & \frac{\partial \mathbf{N}^b}{\partial y} \\ 2\frac{\partial \bar{\mathbf{N}}}{\partial x} \mathbf{u}_{x0} & 2\frac{\partial \bar{\mathbf{N}}}{\partial x} & 2\frac{\partial \bar{\mathbf{N}}}{\partial x} \mathbf{u}_{y0} & 2\frac{\partial \bar{\mathbf{N}}}{\partial x} & 2\mathbf{U}_0^{eT} & 2\frac{\partial \mathbf{N}^{bT}}{\partial x} & 2\frac{\partial \mathbf{N}^b}{\partial x} \end{bmatrix} \quad (6.9)$$

また，(4.18)式と(5.25)式より，

$$\mathbf{B}^{(L)} = \begin{bmatrix} \frac{\partial \bar{\mathbf{N}}}{\partial x} & \mathbf{0} & -z \frac{\partial^2 \mathbf{N}^b}{\partial x^2} \\ \mathbf{0} & \frac{\partial \bar{\mathbf{N}}}{\partial y} & -z \frac{\partial^2 \mathbf{N}^b}{\partial y^2} \\ \frac{\partial \bar{\mathbf{N}}}{\partial y} & \frac{\partial \bar{\mathbf{N}}}{\partial x} & -2z \frac{\partial^2 \mathbf{N}^b}{\partial x \partial y} \end{bmatrix} \quad (6.10)$$

したがって，初期変位マトリックスは，(6.9)式，(6.10)式を次式に代入することによって計算される。

$$\mathbf{k}_0^{(u)} = 2 \int_{\Omega^e} \mathbf{B}_0^{(N)T} \mathbf{D} \mathbf{B}^{(L)} d\Omega + 2 \int_{\Omega^e} \mathbf{B}^{(L)T} \mathbf{D} \mathbf{B}_0^{(N)} d\Omega + 4 \int_{\Omega^e} \mathbf{B}_0^{(N)T} \mathbf{D} \mathbf{B}_0^{(N)} d\Omega \quad (6.11)$$

ここで，(6.9)式，(6.10)式を次のように書く。

$$\mathbf{B}_0^{(N)} = [\mathbf{B}_0^{(N)p} \quad \mathbf{B}_0^{(N)b}], \quad \mathbf{B}^{(L)} = [\mathbf{B}^{(L)p} \quad \mathbf{B}^{(L)b}] \quad (6.12)$$

ここに，上添字  $p$  は面内変形に対応するもの， $b$  は板曲げ変形に対応するものを示す。(6.12)式を用いて(6.11)式の被積分項を計算すると，

$$\begin{aligned}\mathbf{B}_0^{(N)T} \mathbf{D} \mathbf{B}^{(L)} &= \begin{bmatrix} \mathbf{B}_0^{(N)pT} \\ \mathbf{B}_0^{(N)bT} \end{bmatrix} \mathbf{D} \begin{bmatrix} \mathbf{B}^{(L)p} & \mathbf{B}^{(L)b} \end{bmatrix} = \begin{bmatrix} \mathbf{B}_0^{(N)pT} \mathbf{D} \mathbf{B}^{(L)p} & \mathbf{B}_0^{(N)pT} \mathbf{D} \mathbf{B}^{(L)b} \\ \mathbf{B}_0^{(N)bT} \mathbf{D} \mathbf{B}^{(L)p} & \mathbf{B}_0^{(N)bT} \mathbf{D} \mathbf{B}^{(L)b} \end{bmatrix} \\ \mathbf{B}^{(L)T} \mathbf{D} \mathbf{B}_0^{(N)} &= \begin{bmatrix} \mathbf{B}^{(L)pT} \\ \mathbf{B}^{(L)bT} \end{bmatrix} \mathbf{D} \begin{bmatrix} \mathbf{B}_0^{(N)p} & \mathbf{B}_0^{(N)b} \end{bmatrix} = \begin{bmatrix} \mathbf{B}^{(L)pT} \mathbf{D} \mathbf{B}_0^{(N)p} & \mathbf{B}^{(L)pT} \mathbf{D} \mathbf{B}_0^{(N)b} \\ \mathbf{B}^{(L)bT} \mathbf{D} \mathbf{B}_0^{(N)p} & \mathbf{B}^{(L)bT} \mathbf{D} \mathbf{B}_0^{(N)b} \end{bmatrix} \\ \mathbf{B}_0^{(N)T} \mathbf{D} \mathbf{B}_0^{(N)} &= \begin{bmatrix} \mathbf{B}_0^{(N)pT} \\ \mathbf{B}_0^{(N)bT} \end{bmatrix} \mathbf{D} \begin{bmatrix} \mathbf{B}_0^{(N)p} & \mathbf{B}_0^{(N)b} \end{bmatrix} = \begin{bmatrix} \mathbf{B}_0^{(N)pT} \mathbf{D} \mathbf{B}_0^{(N)p} & \mathbf{B}_0^{(N)pT} \mathbf{D} \mathbf{B}_0^{(N)b} \\ \mathbf{B}_0^{(N)bT} \mathbf{D} \mathbf{B}_0^{(N)p} & \mathbf{B}_0^{(N)bT} \mathbf{D} \mathbf{B}_0^{(N)b} \end{bmatrix}\end{aligned}\quad (6.13)$$

上式からわかるようにこの場合は，面内変形と板曲げ変形に関する連成項が存在する。ただし，板曲げと面内変形が連成する場合は von Kármán の理論より，

$$\mathbf{B}_0^{(N)p} = \mathbf{0} \quad (6.14)$$

と仮定できるので，結局(6.13)式は

$$\begin{aligned}\mathbf{B}_0^{(N)T} \mathbf{D} \mathbf{B}^{(L)} &= \begin{bmatrix} \mathbf{0} & \mathbf{0} \\ \mathbf{B}_0^{(N)bT} \mathbf{D} \mathbf{B}^{(L)p} & \mathbf{B}_0^{(N)bT} \mathbf{D} \mathbf{B}^{(L)b} \end{bmatrix} \\ \mathbf{B}^{(L)T} \mathbf{D} \mathbf{B}_0^{(N)} &= \begin{bmatrix} \mathbf{0} & \mathbf{B}^{(L)pT} \mathbf{D} \mathbf{B}_0^{(N)b} \\ \mathbf{0} & \mathbf{B}^{(L)bT} \mathbf{D} \mathbf{B}_0^{(N)b} \end{bmatrix} \\ \mathbf{B}_0^{(N)T} \mathbf{D} \mathbf{B}_0^{(N)} &= \begin{bmatrix} \mathbf{0} & \mathbf{0} \\ \mathbf{0} & \mathbf{B}_0^{(N)bT} \mathbf{D} \mathbf{B}_0^{(N)b} \end{bmatrix}\end{aligned}\quad (6.15)$$

となり，計算の必要な連成項の被積分項は， $\mathbf{B}_0^{(N)bT} \mathbf{D} \mathbf{B}^{(L)p}$  とその転置行列である。(4.22)式と(5.37)

式よりこの項は

$$\mathbf{B}_0^{(N)bT} \mathbf{D} \mathbf{B}^{(L)p} = \frac{1}{2} \begin{bmatrix} \frac{\partial \mathbf{N}^{bT}}{\partial x} \frac{\partial \mathbf{N}^b}{\partial x} \mathbf{U}_0^e & \frac{\partial \mathbf{N}^{bT}}{\partial y} \frac{\partial \mathbf{N}^b}{\partial y} \mathbf{U}_0^e & 2 \frac{\partial \mathbf{N}^{bT}}{\partial y} \frac{\partial \mathbf{N}^b}{\partial x} \mathbf{U}_0^e \end{bmatrix} \begin{bmatrix} D_{11} \frac{\partial \bar{\mathbf{N}}}{\partial x} & D_{12} \frac{\partial \bar{\mathbf{N}}}{\partial y} \\ D_{21} \frac{\partial \bar{\mathbf{N}}}{\partial x} & D_{22} \frac{\partial \bar{\mathbf{N}}}{\partial y} \\ D_{33} \frac{\partial \bar{\mathbf{N}}}{\partial y} & D_{33} \frac{\partial \bar{\mathbf{N}}}{\partial x} \end{bmatrix} \quad (6.16)$$

から計算される。

## 7 座標変換

図 7.1 に示すように，全体座標系を  $\bar{x}, \bar{y}, \bar{z}$ ，局所座標系を  $x, y, z$  とする。各辺の中心を結ぶ 2 つの線の交点を局所座標系の原点にとり，辺 14 の中点から辺 23 の中点に向かう方向を  $x$  軸とする。要素面内で  $x$  軸と垂直に  $y$  軸を定め， $x, y$  軸と右手系をなすように  $z$  軸を定める。

以上の定義にしたがい座標変換マトリックスを導出する。全体座標系  $(\bar{x}, \bar{y}, \bar{z})$  の単位ベクトル

$\bar{\mathbf{e}} = \{\mathbf{e}_{\bar{x}}, \mathbf{e}_{\bar{y}}, \mathbf{e}_{\bar{z}}\}^T$  と，局所座標系  $(x, y, z)$  の単位ベクトル  $\mathbf{e} = \{\mathbf{e}_x, \mathbf{e}_y, \mathbf{e}_z\}^T$  の関係は次式で表される。

$$\mathbf{e} = \mathbf{L}\bar{\mathbf{e}} \quad (7.1)$$

ここに,

$$\mathbf{L} = \begin{bmatrix} l_{x\bar{x}} & l_{x\bar{y}} & l_{x\bar{z}} \\ l_{y\bar{x}} & l_{y\bar{y}} & l_{y\bar{z}} \\ l_{z\bar{x}} & l_{z\bar{y}} & l_{z\bar{z}} \end{bmatrix} = \begin{bmatrix} \mathbf{L}_x^T \\ \mathbf{L}_y^T \\ \mathbf{L}_z^T \end{bmatrix} \quad (7.2)$$

$\mathbf{L}$  は、座標変換マトリックスと呼ばれ、 $(l_{x\bar{x}}, l_{x\bar{y}}, l_{x\bar{z}})$  は局所  $x$  座標の全体  $(\bar{x}, \bar{y}, \bar{z})$  座標への方向余弦である。 $(l_{y\bar{x}}, l_{y\bar{y}}, l_{y\bar{z}}), (l_{z\bar{x}}, l_{z\bar{y}}, l_{z\bar{z}})$  も同様であり、(7.2)式は次式のようにも書ける。

$$\mathbf{L} = \begin{bmatrix} \cos(\mathbf{e}_x, \mathbf{e}_{\bar{x}}) & \cos(\mathbf{e}_x, \mathbf{e}_{\bar{y}}) & \cos(\mathbf{e}_x, \mathbf{e}_{\bar{z}}) \\ \cos(\mathbf{e}_y, \mathbf{e}_{\bar{x}}) & \cos(\mathbf{e}_y, \mathbf{e}_{\bar{y}}) & \cos(\mathbf{e}_y, \mathbf{e}_{\bar{z}}) \\ \cos(\mathbf{e}_z, \mathbf{e}_{\bar{x}}) & \cos(\mathbf{e}_z, \mathbf{e}_{\bar{y}}) & \cos(\mathbf{e}_z, \mathbf{e}_{\bar{z}}) \end{bmatrix} \quad (7.3)$$

ここに、 $(\mathbf{e}_i, \mathbf{e}_{\bar{j}})$  は、ベクトル  $\mathbf{e}_i$  とベクトル  $\mathbf{e}_{\bar{j}}$  の間の角度を表す。

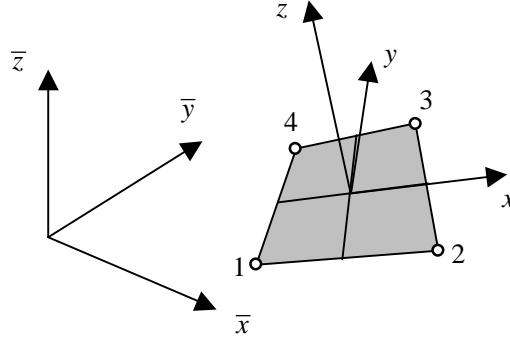


図 7.1 平面シェル要素の局所座標系と全体座標系

要素各辺の中点の座標は次式から求められる。

$$\begin{Bmatrix} \bar{x}_{12}^c \\ \bar{y}_{12}^c \\ \bar{z}_{12}^c \end{Bmatrix} = \begin{Bmatrix} \frac{1}{2}(\bar{x}_1 + \bar{x}_2) \\ \frac{1}{2}(\bar{y}_1 + \bar{y}_2) \\ \frac{1}{2}(\bar{z}_1 + \bar{z}_2) \end{Bmatrix}, \quad \begin{Bmatrix} \bar{x}_{23}^c \\ \bar{y}_{23}^c \\ \bar{z}_{23}^c \end{Bmatrix} = \begin{Bmatrix} \frac{1}{2}(\bar{x}_2 + \bar{x}_3) \\ \frac{1}{2}(\bar{y}_2 + \bar{y}_3) \\ \frac{1}{2}(\bar{z}_2 + \bar{z}_3) \end{Bmatrix}, \quad \begin{Bmatrix} \bar{x}_{43}^c \\ \bar{y}_{43}^c \\ \bar{z}_{43}^c \end{Bmatrix} = \begin{Bmatrix} \frac{1}{2}(\bar{x}_3 + \bar{x}_4) \\ \frac{1}{2}(\bar{y}_3 + \bar{y}_4) \\ \frac{1}{2}(\bar{z}_3 + \bar{z}_4) \end{Bmatrix}, \quad \begin{Bmatrix} \bar{x}_{14}^c \\ \bar{y}_{14}^c \\ \bar{z}_{14}^c \end{Bmatrix} = \begin{Bmatrix} \frac{1}{2}(\bar{x}_1 + \bar{x}_4) \\ \frac{1}{2}(\bar{y}_1 + \bar{y}_4) \\ \frac{1}{2}(\bar{z}_1 + \bar{z}_4) \end{Bmatrix} \quad (7.4)$$

辺 14 と辺 23 の中点を結ぶ方向に定義される  $x$  軸の方向余弦ベクトル  $\mathbf{L}_x$  は次式から求められる。

$$\mathbf{L}_x = \mathbf{A}/|\mathbf{A}| \quad (7.5)$$

ここで,

$$\mathbf{A}^T = \{(\bar{x}_{23}^c - \bar{x}_{14}^c) \quad (\bar{y}_{23}^c - \bar{y}_{14}^c) \quad (\bar{z}_{23}^c - \bar{z}_{14}^c)\} \quad (7.6)$$

$$|\mathbf{A}| = \sqrt{(\bar{x}_{23}^c - \bar{x}_{14}^c)^2 + (\bar{y}_{23}^c - \bar{y}_{14}^c)^2 + (\bar{z}_{23}^c - \bar{z}_{14}^c)^2}$$

つぎに、 $z$  軸の方向余弦ベクトル  $\mathbf{L}_z$  は次式から求められる。



クに分けて効率よく行う必要がある。なお，付録Cにこの部分の Fortran プログラミング例を示している。

## 8 弧長増分法による非線形方程式の解法

(3.7)式を7章に示した座標変換によって全体座標系に変換すると次式となる。

$$\left(\bar{\mathbf{k}}^{(L)} + \bar{\mathbf{k}}_0^{(\sigma)}\right) \Delta \bar{\mathbf{U}}^e = \Delta \bar{\mathbf{f}} \quad (8.1)$$

ここに，

$$\Delta \bar{\mathbf{f}} = \mathbf{T}^T (\Delta \mathbf{f}_b + \Delta \mathbf{f}_t + \mathbf{R}_0 + \mathbf{Q}_\sigma) \quad (8.2)$$

ただし，通常は $\mathbf{Q}_\sigma$ は無視される。

(8.1)式をすべての要素について重ね合わせると全体剛性方程式が次式のように得られる。

$$\mathbf{K} \Delta \mathbf{U} = \Delta \mathbf{F} \quad (8.3)$$

ここに，

$$\begin{aligned} \mathbf{K} &= \underset{\text{elements}}{\mathbf{A}} \left( \bar{\mathbf{k}}^{(L)} + \bar{\mathbf{k}}_0^{(u)} + \bar{\mathbf{k}}_0^{(\sigma)} \right) \\ \Delta \mathbf{F} &= \underset{\text{elements}}{\mathbf{A}} \Delta \bar{\mathbf{f}} \end{aligned} \quad (8.4)$$

ただし， $\mathbf{A}$ は重ね合わせを表す記号である。

(8.3)式の解法としては，荷重増分法，変位増分法，弧長増分法等が考えられるが，荷重増分法では座屈後の解析が難しく，変位増分法では多点に荷重が加わる問題等の解析が難しい。一般には荷重が与えられる問題が多いため，座屈後の解析が行える弧長増分法の適用が望ましい。そこで，ここでは誇張増分法の定式化を示す。以下の定式化は，『計算力学ハンドブック』，日本機械学会，pp.121-122を参考にしている。

弧長増分法では，(8.3)式の方程式を解くために，次のような2種の方程式を連立させて解く。

$$\mathbf{K} \Delta \mathbf{U} - \Delta \lambda \mathbf{F} = \mathbf{0} \quad (8.5)$$

$$\Delta \mathbf{U}^T \Delta \mathbf{U} + \Delta \lambda^2 = \Delta r^2 \quad (8.6)$$

ここに， $\lambda$ は荷重パラメータ， $\Delta r$ は任意の大きさのパラメータで，計算を実行する際に与える量となる。収束の過程で，この $\Delta r$ が大きすぎると収束が遅くなり，小さすぎると計算ステップが多くなる。

収束過程における修正方程式は，収束操作のステップ数を $n$ として上添字で示すと，次のように表される。

$$\mathbf{K} (\mathbf{U}_0 + \Delta \mathbf{U}^{(n)}) \delta \mathbf{U}^{(n)} - \delta \lambda^{(n)} \mathbf{F} = \mathbf{p}^{(n)} \quad (8.7)$$

$$\Delta \mathbf{U}^{(n)T} \delta \mathbf{U}^{(n)} + \Delta \lambda^{(n)} \delta \lambda^{(n)} = q^{(n)} \quad (8.8)$$

ここに，

$$\mathbf{p}^{(n)} = (\lambda_0 + \Delta \lambda^{(n)}) \mathbf{F} - \underset{\text{elements}}{\mathbf{A}} \int_{\Omega^e} (\mathbf{B}^{(L)} + 2\mathbf{B}_0^{(N)})^T (\boldsymbol{\sigma}_0 + \Delta \boldsymbol{\sigma}^{(n)}) d\Omega \quad (8.9)$$

$$q^{(n)} = \frac{1}{2} \left[ \Delta r^2 - \Delta \mathbf{U}^{(n)T} \Delta \mathbf{U}^{(n)} - (\Delta \lambda^{(n)})^2 \right] \quad (8.10)$$

$$\Delta \mathbf{U}^{(n)} = \sum_{i=1}^{n-1} \delta \mathbf{U}^{(i)}, \quad \Delta \lambda^{(n)} = \sum_{i=1}^{n-1} \delta \lambda^{(i)} \quad (8.11)$$

ただし,  $\mathbf{U}_0, \lambda_0, \boldsymbol{\sigma}_0$  は前ステップで収束した変位ベクトル, 荷重パラメータ, 応力ベクトルである。また,  $\Delta \boldsymbol{\sigma}^{(n)}$  は  $\Delta \mathbf{U}^{(n)}$  から求められる応力増分である。

(8.7)式, (8.8)式をマトリックス表示すると次式となる。

$$N \updownarrow \begin{bmatrix} \mathbf{K}(\mathbf{U}_0 + \Delta \mathbf{U}^{(n)}) & -\mathbf{F} \\ \Delta \mathbf{U}^{(n)T} & \Delta \lambda^{(n)} \end{bmatrix} \begin{Bmatrix} \delta \mathbf{U}^{(n)} \\ \delta \lambda^{(n)} \end{Bmatrix} = \begin{Bmatrix} \mathbf{p}^{(n)} \\ q^{(n)} \end{Bmatrix} \quad (8.12)$$

上式が弧長増分法における Newton-Raphson 法の収束過程の基礎式となる。ここに,  $N$  は剛性マトリックスの自由度数である。

ただし, (8.12)式は非対称マトリックスとなるため, このまま解いたのでは計算効率が悪い。そこで, (8.12)式を直接解く代わりに, 修正 Riks 法 (線形化された弧長法) と呼ばれる方法を用いる (固体力学におけるコンピュータアナリシス, 大坪英臣著, 日本機械学会編)。

まず, 荷重増分  $\Delta \lambda^{(i,0)} \mathbf{F}$  に対する  $\Delta \mathbf{U}^{(i,0)}$  を求める。ただし, 上添字  $(i,0)$  は, 左が荷重増分ステップ, 右が Newton-Raphson 法の繰り返しステップを示し, 今の場合  $i$  番目の荷重ステップの Newton-Raphson 法の計算が始まる前の状態を表す。(8.5)式より,  $\Delta \mathbf{U}^{(i,0)}$  は次式によって求められる。

$$\mathbf{K}^{(i-1)} \Delta \mathbf{U}^{(i,0)} = \Delta \lambda^{(i,0)} \mathbf{F} \quad (8.13)$$

ここに,  $\mathbf{K}^{(i-1)}$  は前ステップの剛性マトリックスを表す。ただし, (8.6)式より,  $\Delta \mathbf{U}^{(i,0)}, \Delta \lambda^{(i,0)}$  は次式を満たすように決める必要がある。

$$\Delta \mathbf{U}^{(i,0)T} \Delta \mathbf{U}^{(i,0)} + \Delta \lambda^{(i,0)2} = \Delta r^2 \quad (8.14)$$

このため, 規準になる変位  $\mathbf{U}_A^{(i,0)}$  を次式より求める。

$$\mathbf{K}^{(i-1)} \mathbf{U}_A^{(i,0)} = \mathbf{F} \quad (8.15)$$

(8.13)式より  $\Delta \mathbf{U}^{(i,0)} = \Delta \lambda^{(i,0)} \mathbf{U}_A^{(i,0)}$  であるから, (8.14)式より,

$$\Delta \lambda^{(i,0)2} = \frac{\Delta r^2}{\left(1 + \mathbf{U}_A^{(i,0)T} \mathbf{U}_A^{(i,0)}\right)} \quad (8.16)$$

以上の計算により図 8.1 に  $B^{(1)}$  点が求められる。しかし, この点では外力の内力の間に不釣合力が生じるため Newton-Raphson 法により不釣合力の生じない平衡点を求める。

まず, (8.16)式より増分変位  $\Delta \mathbf{U}^{(i,0)}$  が求められ, これから応力増分  $\Delta \boldsymbol{\sigma}^{(i,0)}$  が計算される。そして, 変位と応力が次式によって更新される。

$$\lambda^{(i,0)} = \lambda^{(i-1)} + \Delta \lambda^{(i,0)}, \quad \mathbf{U}^{(i,0)} = \mathbf{U}^{(i-1)} + \Delta \mathbf{U}^{(i,0)}, \quad \boldsymbol{\sigma}^{(i,0)} = \boldsymbol{\sigma}^{(i-1)} + \Delta \boldsymbol{\sigma}^{(i,0)} \quad (8.17)$$

この時, (8.9)式より不釣合力ベクトルが次式から計算される。

$$\mathbf{p}^{(i,0)} = \lambda^{(i,0)} \mathbf{F} - \int_{\text{elements}} \mathbf{A} \left( \mathbf{B}^{(L)} + 2\mathbf{B}_0^{(N)} \right)^T \boldsymbol{\sigma}^{(i,0)} d\Omega \quad (8.18)$$

修正 Riks 法では, 次の修正点  $(\lambda^{(i,0)} + \delta \lambda^{(i,1)}, \mathbf{U}^{(i,0)} + \delta \mathbf{U}^{(i,1)})$  を図 8.1 のベクトル  $AB^{(1)}$  に直交する線

上に求める。この場合、直交条件より、

$$\Delta\lambda^{(i,0)}\delta\lambda^{(i,1)} + \Delta\mathbf{U}^{(i,0)}\delta\mathbf{U}^{(i,1)} = 0 \quad (8.19)$$

また、(8.12)式を参考にすると、

$$\delta\mathbf{U}^{(i,1)} = \delta\lambda^{(i,1)}\mathbf{K}^{(i,0)^{-1}}\mathbf{F} + \mathbf{K}^{(i,0)^{-1}}\mathbf{p}^{(i,0)} = \delta\lambda^{(i,1)}\mathbf{U}_B^{(i,0)} + \delta\mathbf{U}_C^{(i,0)} \quad (8.20)$$

ここに、 $\mathbf{U}_B^{(i,0)}, \delta\mathbf{U}_C^{(i,0)}$  は次式から求められる。

$$\mathbf{K}^{(i,0)}\mathbf{U}_B^{(i,0)} = \mathbf{F}, \quad \mathbf{K}^{(i,0)}\delta\mathbf{U}_C^{(i,0)} = \mathbf{p}^{(i,0)} \quad (8.21)$$

(8.20)式を(8.19)式に代入し、 $\delta\lambda^{(i,1)}$  に関して解くと、

$$\delta\lambda^{(i,1)} = -\frac{\Delta\mathbf{U}^{(i,0)}\delta\mathbf{U}_C^{(i,0)}}{\Delta\mathbf{U}^{(i,0)T}\mathbf{U}_B^{(i,0)} + \Delta\lambda^{(i,0)}} \quad (8.22)$$

となる。(8.22)式を(8.20)式に代入すると $\delta\mathbf{U}^{(i,1)}$  が求められる。この点が図 8.1 の  $B^{(2)}$  点となる。

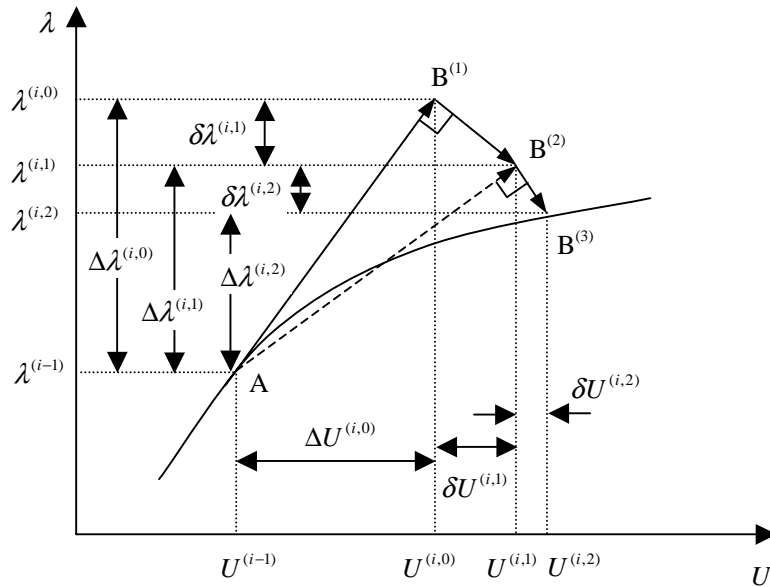


図 8.1 線形化された弧長法 (修正 Riks 法)

以上の修正によって、変位と応力が次式のように更新される。

$$\lambda^{(i,1)} = \lambda^{(i,0)} + \delta\lambda^{(i,1)}, \quad \mathbf{U}^{(i,1)} = \mathbf{U}^{(i,0)} + \delta\mathbf{U}^{(i,1)}, \quad \boldsymbol{\sigma}^{(i,1)} = \boldsymbol{\sigma}^{(i,0)} + \delta\boldsymbol{\sigma}^{(i,1)} \quad (8.23)$$

この時、(8.9)式より新たな不釣合力ベクトルが次式から計算される。

$$\mathbf{p}^{(i,1)} = \lambda^{(i,1)}\mathbf{F} - \int_{\text{elements}} \mathbf{B}^{(L)} + 2\mathbf{B}_0^{(N)} \boldsymbol{\sigma}^{(i,1)} d\Omega \quad (8.24)$$

次の修正点 ( $\lambda^{(i,1)} + \delta\lambda^{(i,2)}, \mathbf{U}^{(i,1)} + \delta\mathbf{U}^{(i,2)}$ ) は、図 8.1 のベクトル  $AB^{(2)}$  に直交する線上に求められる。このとき、次の直交条件が成り立つ。

$$\Delta\lambda^{(i,1)}\delta\lambda^{(i,2)} + \Delta\mathbf{U}^{(i,1)}\delta\mathbf{U}^{(i,2)} = 0 \quad (8.25)$$

ただし、

$$\Delta\lambda^{(i,1)} = \Delta\lambda^{(i,0)} + \delta\lambda^{(i,1)}, \quad \Delta\mathbf{U}^{(i,1)} = \Delta\mathbf{U}^{(i,0)} + \delta\mathbf{U}^{(i,1)} \quad (8.26)$$

また、

$$\delta \mathbf{U}^{(i,2)} = \delta \lambda^{(i,2)} \mathbf{U}_B^{(i,1)} + \delta \mathbf{U}_C^{(i,1)} \quad (8.27)$$

ここに,

$$\mathbf{K}^{(i,1)} \mathbf{U}_B^{(i,1)} = \mathbf{F}, \quad \mathbf{K}^{(i,1)} \delta \mathbf{U}_C^{(i,1)} = \mathbf{p}^{(i,1)} \quad (8.28)$$

が成り立つから, (8.25)式と(8.27)式より,

$$\delta \lambda^{(i,2)} = - \frac{\Delta \mathbf{U}^{(i,1)} \delta \mathbf{U}_C^{(i,1)}}{\Delta \mathbf{U}^{(i,1)T} \mathbf{U}_B^{(i,1)} + \Delta \lambda^{(i,1)}} \quad (8.29)$$

が得られる。これが図 8.1 の B<sup>(3)</sup>点である。以下, (8.23)式から(8.29)式を不釣合ベクトル  $\mathbf{p}^{(i,n)}$  のノルムが十分小さくなるまで繰り返す。そして, 収束したら(8.13)式に戻って荷重増分ステップを更新する。

なお, 実際には,  $\Delta \lambda$  は変位の大きさに依存するため, (8.6)式は次式のように置く (計算力学ハンドブック, 日本機械学会編)

$$\Delta \mathbf{U}^T \Delta \mathbf{U} + \Delta \lambda^2 \phi^2 \mathbf{F}^T \mathbf{F} = \Delta r^2 \quad (8.30)$$

ここに,  $\phi$  はスケーリングパラメータである。このとき, (8.16), (8.22), (8.29)式はそれぞれ次のようになる。

$$\Delta \lambda^{(i,0)^2} = \frac{\Delta r^2}{\left( \phi^2 \mathbf{F}^T \mathbf{F} + \mathbf{U}_A^{(i,0)T} \mathbf{U}_A^{(i,0)} \right)} \quad (8.31)$$

$$\delta \lambda^{(i,1)} = - \frac{\Delta \mathbf{U}^{(i,0)} \delta \mathbf{U}_C^{(i,0)}}{\Delta \mathbf{U}^{(i,0)T} \mathbf{U}_B^{(i,0)} + \Delta \lambda^{(i,0)} \phi^2 \mathbf{F}^T \mathbf{F}} \quad (8.32)$$

$$\delta \lambda^{(i,2)} = - \frac{\Delta \mathbf{U}^{(i,1)} \delta \mathbf{U}_C^{(i,1)}}{\Delta \mathbf{U}^{(i,1)T} \mathbf{U}_B^{(i,1)} + \Delta \lambda^{(i,1)} \phi^2 \mathbf{F}^T \mathbf{F}} \quad (8.33)$$

したがって, この場合, 弧長半径  $\Delta r$  とスケーリングパラメータ  $\phi$  が与えられることになる。

#### 付録 A $x, y$ に関する 2 階の偏微分の導出法

まず,  $\xi, \eta$  に関する 2 階の偏微分を次のように置く。

$$\begin{Bmatrix} \frac{\partial^2}{\partial \xi^2} \\ \frac{\partial^2}{\partial \eta^2} \\ \frac{\partial^2}{\partial \xi \eta} \end{Bmatrix} = \mathbf{C}_1 \begin{Bmatrix} \frac{\partial}{\partial x} \\ \frac{\partial}{\partial y} \end{Bmatrix} + \mathbf{C}_2 \begin{Bmatrix} \frac{\partial^2}{\partial x^2} \\ \frac{\partial^2}{\partial y^2} \\ \frac{\partial^2}{\partial xy} \end{Bmatrix} \quad (A.1)$$

ここに,  $\mathbf{C}_1, \mathbf{C}_2$  は次式で与えられる。

$$\mathbf{C}_1 = \begin{bmatrix} \frac{\partial^2 x}{\partial \xi^2} & \frac{\partial^2 y}{\partial \xi^2} \\ \frac{\partial^2 x}{\partial \eta^2} & \frac{\partial^2 y}{\partial \eta^2} \\ \frac{\partial^2 x}{\partial \xi \eta} & \frac{\partial^2 y}{\partial \xi \eta} \end{bmatrix} = \begin{bmatrix} \frac{\partial^2 \bar{\mathbf{N}}}{\partial \xi^2} \mathbf{x} & \frac{\partial^2 \bar{\mathbf{N}}}{\partial \xi^2} \mathbf{y} \\ \frac{\partial^2 \bar{\mathbf{N}}}{\partial \eta^2} \mathbf{x} & \frac{\partial^2 \bar{\mathbf{N}}}{\partial \eta^2} \mathbf{y} \\ \frac{\partial^2 \bar{\mathbf{N}}}{\partial \xi \eta} \mathbf{x} & \frac{\partial^2 \bar{\mathbf{N}}}{\partial \xi \eta} \mathbf{y} \end{bmatrix} \quad (A.2)$$



$$\mathbf{C}_2 = \begin{bmatrix} \left(\frac{\partial x}{\partial \xi}\right)^2 & \left(\frac{\partial y}{\partial \xi}\right)^2 & 2\frac{\partial x}{\partial \xi}\frac{\partial y}{\partial \xi} \\ \left(\frac{\partial x}{\partial \eta}\right)^2 & \left(\frac{\partial y}{\partial \eta}\right)^2 & 2\frac{\partial x}{\partial \eta}\frac{\partial y}{\partial \eta} \\ \frac{\partial x}{\partial \xi}\frac{\partial x}{\partial \eta} & \frac{\partial y}{\partial \xi}\frac{\partial y}{\partial \eta} & \frac{\partial x}{\partial \xi}\frac{\partial y}{\partial \eta} + \frac{\partial x}{\partial \eta}\frac{\partial y}{\partial \xi} \end{bmatrix} = \begin{bmatrix} \mathbf{x}^T \frac{\partial \bar{\mathbf{N}}^T}{\partial \xi} \frac{\partial \bar{\mathbf{N}}}{\partial \xi} \mathbf{x} & \mathbf{y}^T \frac{\partial \bar{\mathbf{N}}^T}{\partial \xi} \frac{\partial \bar{\mathbf{N}}}{\partial \xi} \mathbf{y} & 2\mathbf{x}^T \frac{\partial \bar{\mathbf{N}}^T}{\partial \xi} \frac{\partial \bar{\mathbf{N}}}{\partial \xi} \mathbf{y} \\ \mathbf{x}^T \frac{\partial \bar{\mathbf{N}}^T}{\partial \eta} \frac{\partial \bar{\mathbf{N}}}{\partial \eta} \mathbf{x} & \mathbf{y}^T \frac{\partial \bar{\mathbf{N}}^T}{\partial \eta} \frac{\partial \bar{\mathbf{N}}}{\partial \eta} \mathbf{y} & 2\mathbf{x}^T \frac{\partial \bar{\mathbf{N}}^T}{\partial \eta} \frac{\partial \bar{\mathbf{N}}}{\partial \eta} \mathbf{y} \\ \mathbf{x}^T \frac{\partial \bar{\mathbf{N}}^T}{\partial \xi} \frac{\partial \bar{\mathbf{N}}}{\partial \eta} \mathbf{x} & \mathbf{y}^T \frac{\partial \bar{\mathbf{N}}^T}{\partial \xi} \frac{\partial \bar{\mathbf{N}}}{\partial \eta} \mathbf{y} & \mathbf{x}^T \frac{\partial \bar{\mathbf{N}}^T}{\partial \xi} \frac{\partial \bar{\mathbf{N}}}{\partial \eta} \mathbf{y} + \mathbf{x}^T \frac{\partial \bar{\mathbf{N}}^T}{\partial \eta} \frac{\partial \bar{\mathbf{N}}}{\partial \xi} \mathbf{y} \end{bmatrix} \quad (\text{A.3})$$

(5.14)式より，

$$\begin{Bmatrix} \frac{\partial}{\partial \xi} \\ \frac{\partial}{\partial \eta} \end{Bmatrix} = \begin{bmatrix} \frac{\partial x}{\partial \xi} & \frac{\partial y}{\partial \xi} \\ \frac{\partial x}{\partial \eta} & \frac{\partial y}{\partial \eta} \end{bmatrix} \begin{Bmatrix} \frac{\partial}{\partial x} \\ \frac{\partial}{\partial y} \end{Bmatrix} = \mathbf{J} \begin{Bmatrix} \frac{\partial}{\partial x} \\ \frac{\partial}{\partial y} \end{Bmatrix} \quad (\text{A.4})$$

上式を(A.1)に代入すると，

$$\begin{Bmatrix} \frac{\partial^2}{\partial \xi^2} \\ \frac{\partial^2}{\partial \eta^2} \\ \frac{\partial^2}{\partial \xi \eta} \end{Bmatrix} = \mathbf{C}_1 \mathbf{J}^{-1} \begin{Bmatrix} \frac{\partial}{\partial \xi} \\ \frac{\partial}{\partial \eta} \end{Bmatrix} + \mathbf{C}_2 \begin{Bmatrix} \frac{\partial^2}{\partial x^2} \\ \frac{\partial^2}{\partial y^2} \\ \frac{\partial^2}{\partial xy} \end{Bmatrix} \quad (\text{A.5})$$

ここで， $x, y$ に関する偏微分を次式のように置く。

$$\begin{Bmatrix} \frac{\partial^2}{\partial x^2} \\ \frac{\partial^2}{\partial y^2} \\ \frac{\partial^2}{\partial xy} \end{Bmatrix} = \mathbf{T}_1 \begin{Bmatrix} \frac{\partial}{\partial \xi} \\ \frac{\partial}{\partial \eta} \end{Bmatrix} + \mathbf{T}_2 \begin{Bmatrix} \frac{\partial^2}{\partial \xi^2} \\ \frac{\partial^2}{\partial \eta^2} \\ \frac{\partial^2}{\partial \xi \eta} \end{Bmatrix} \quad (\text{A.6})$$

上式に(A.3)式を代入すると，

$$\begin{Bmatrix} \frac{\partial^2}{\partial x^2} \\ \frac{\partial^2}{\partial y^2} \\ \frac{\partial^2}{\partial xy} \end{Bmatrix} = (\mathbf{T}_1 + \mathbf{T}_2 \mathbf{C}_1 \mathbf{J}^{-1}) \begin{Bmatrix} \frac{\partial}{\partial \xi} \\ \frac{\partial}{\partial \eta} \end{Bmatrix} + \mathbf{T}_2 \mathbf{C}_2 \begin{Bmatrix} \frac{\partial^2}{\partial \xi^2} \\ \frac{\partial^2}{\partial \eta^2} \\ \frac{\partial^2}{\partial \xi \eta} \end{Bmatrix} \quad (\text{A.7})$$

上式より， $\mathbf{T}_1, \mathbf{T}_2$ は $\mathbf{C}_1, \mathbf{C}_2$ から次のように求められる。

$$\mathbf{T}_2 = \mathbf{C}_2^{-1} \quad (\text{A.8})$$

$$\mathbf{T}_1 = -\mathbf{T}_2 \mathbf{C}_1 \mathbf{J}^{-1} = -\mathbf{C}_2^{-1} \mathbf{C}_1 \mathbf{J}^{-1} \quad (\text{A.9})$$

なお， $\bar{\mathbf{N}}$ の $\xi, \eta$ に関する1階の偏微分係数は(4.13)式から計算され，2階の偏微分係数は次式とな



$\xi$  に関する 2 階偏微分

$$\begin{aligned}
\frac{\partial^2 \bar{N}_1^b}{\partial \xi^2} &= \frac{3}{4} \xi (1 - \eta) & \frac{\partial^2 \bar{N}_7^b}{\partial \xi^2} &= -\frac{3}{4} \xi (1 + \eta) \\
\frac{\partial^2 \bar{N}_2^b}{\partial \xi^2} &= 0 & \frac{\partial^2 \bar{N}_8^b}{\partial \xi^2} &= 0 \\
\frac{\partial^2 \bar{N}_3^b}{\partial \xi^2} &= -\frac{1}{4} (-1 + 3\xi) (1 - \eta) & \frac{\partial^2 \bar{N}_9^b}{\partial \xi^2} &= -\frac{1}{4} (1 + 3\xi) (1 + \eta) \\
\frac{\partial^2 \bar{N}_4^b}{\partial \xi^2} &= -\frac{3}{4} \xi (1 - \eta) & \frac{\partial^2 \bar{N}_{10}^b}{\partial \xi^2} &= \frac{3}{4} \xi (1 + \eta) \\
\frac{\partial^2 \bar{N}_5^b}{\partial \xi^2} &= 0 & \frac{\partial^2 \bar{N}_{11}^b}{\partial \xi^2} &= 0 \\
\frac{\partial^2 \bar{N}_6^b}{\partial \xi^2} &= -\frac{1}{4} (1 + 3\xi) (1 - \eta) & \frac{\partial^2 \bar{N}_{12}^b}{\partial \xi^2} &= -\frac{1}{4} (-1 + 3\xi) (1 + \eta)
\end{aligned} \tag{B.3}$$

$\eta$  に関する 2 階偏微分

$$\begin{aligned}
\frac{\partial \bar{N}_1^b}{\partial \eta^2} &= \frac{3}{4} (1 - \xi) \eta & \frac{\partial \bar{N}_7^b}{\partial \eta^2} &= -\frac{3}{4} (1 + \xi) \eta \\
\frac{\partial \bar{N}_2^b}{\partial \eta^2} &= \frac{1}{4} (1 - \xi) (-1 + 3\eta) & \frac{\partial \bar{N}_8^b}{\partial \eta^2} &= \frac{1}{4} (1 + \xi) (1 + 3\eta) \\
\frac{\partial \bar{N}_3^b}{\partial \eta^2} &= 0 & \frac{\partial \bar{N}_9^b}{\partial \eta^2} &= 0 \\
\frac{\partial \bar{N}_4^b}{\partial \eta^2} &= \frac{3}{4} (1 + \xi) \eta & \frac{\partial \bar{N}_{10}^b}{\partial \eta^2} &= -\frac{3}{4} (1 - \xi) \eta \\
\frac{\partial \bar{N}_5^b}{\partial \eta^2} &= \frac{1}{4} (1 + \xi) (-1 + 3\eta) & \frac{\partial \bar{N}_{11}^b}{\partial \eta^2} &= \frac{1}{4} (1 - \xi) (1 + 3\eta) \\
\frac{\partial \bar{N}_6^b}{\partial \eta^2} &= 0 & \frac{\partial \bar{N}_{12}^b}{\partial \eta^2} &= 0
\end{aligned} \tag{B.4}$$

$\xi, \eta$  に関する偏微分

$$\begin{aligned}
\frac{\partial \bar{N}_1^b}{\partial \xi \partial \eta} &= \frac{1}{8} (4 - 3\xi^2 - 3\eta^2) & \frac{\partial \bar{N}_7^b}{\partial \xi \partial \eta} &= \frac{1}{8} (4 - 3\xi^2 - 3\eta^2) \\
\frac{\partial \bar{N}_2^b}{\partial \xi \partial \eta} &= \frac{1}{8} (1 + 2\eta - 3\eta^2) & \frac{\partial \bar{N}_8^b}{\partial \xi \partial \eta} &= \frac{1}{8} (-1 + 2\eta + 3\eta^2) \\
\frac{\partial \bar{N}_3^b}{\partial \xi \partial \eta} &= \frac{1}{8} (-1 - 2\xi + 3\xi^2) & \frac{\partial \bar{N}_9^b}{\partial \xi \partial \eta} &= \frac{1}{8} (1 - 2\xi - 3\xi^2)
\end{aligned}$$

$$\begin{aligned}
\frac{\partial \bar{N}_4^b}{\partial \xi \partial \eta} &= \frac{1}{8}(-4 + 3\xi^2 + 3\eta^2) & \frac{\partial \bar{N}_{10}^b}{\partial \xi \partial \eta} &= \frac{1}{8}(-4 + 3\xi^2 + 3\eta^2) \\
\frac{\partial \bar{N}_5^b}{\partial \xi \partial \eta} &= \frac{1}{8}(-1 - 2\eta + 3\eta^2) & \frac{\partial \bar{N}_{11}^b}{\partial \xi \partial \eta} &= \frac{1}{8}(1 - 2\eta - 3\eta^2) \\
\frac{\partial \bar{N}_6^b}{\partial \xi \partial \eta} &= \frac{1}{8}(-1 + 2\xi + 3\xi^2) & \frac{\partial \bar{N}_{12}^b}{\partial \xi \partial \eta} &= \frac{1}{8}(1 + 2\xi - 3\xi^2)
\end{aligned}
\tag{B.5}$$

## 付録 C 要素剛性マトリックスの座標変換

(7.10)式の要素剛性マトリックスの座標変換の Fortran プログラミング例を以下に示す。

```

Subroutine ctrans(ekm,t)
implicit real*8(a-h,o-z)
dimension ekm(24,24),t(3,3),ekms(3,3),ekmt(3,3)
do ni = 1,4
do nj = 1,4
ib= 3*(ni-1)
jb= 3*(nj-1)
c
do i = 1,3
do j = 1,3
ekms(i,j) = ekm(ib+i,jb+j)    ! ekm : 要素剛性マトリックス
end do
end do
c
[L]^T[kninj]
c
do i = 1,3
do j = 1,3
s = 0.d0
do k = 1,3
s = s + t(k,i)*ekms(k,j)    ! t : 座標変換マトリックス[L]
end do
ekmt(i,j) = s                ! [L]^T[kninj]
end do
end do
c
[L]^T[kninj][L]
c
do i = 1,3
do j = 1,3
s = 0.d0
do k = 1,3
s = s + ekmt(i,k)*t(k,j)
end do
ekm(ib+i,jb+j) = s          ! [L]^T[kninj][L]
end do
end do
c
end do
end do
return
end

```